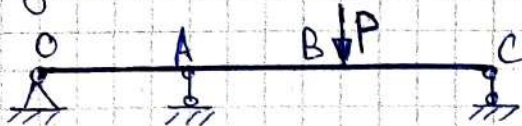


# 1. Рассчитать статически неопределенную стержневую систему методом сил. Вывод канонических уравнений.

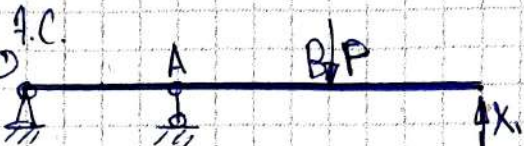
Метод сил - последовательность действий, позволяющая определить из допущений о действующих усилиях только реакции связей сопротивления, сколько нужно для превращения системы в статически определимую.

Расчет статически неопределенных стержневых систем методом сил

Вывод канонических неопределенных баланс:



$$n = 4 - 3 = 1$$



Заданное реакции  $X_1$  находят исходя из того, что перемещение точки С под действием заданной нагрузки  $\Delta P$  равно нулю и противоположно по знаку перемещению этой точки под действием реакции  $X_1$ .

$$\Delta P + \Delta X_1 = 0$$

Записано, что залога  $M^X_1$  в  $X_1$  равняется залоге  $M^Y_1$ :

$$\Delta X_1 = \frac{M^X_1 \cdot M^Y_1}{E I_{X_1}} = X_1 \cdot \frac{M^Y_1 \cdot M^Y_1}{E I_{X_1}} = X_1 \cdot \delta_{11}$$

$$\Delta P = \frac{M^P \cdot M^Y_1}{E I_{X_1}} = \delta_{1P}$$

Полученное каноническое уравнение:  $X_1 \delta_{11} + \delta_{1P} = 0$ .

Если слагаемое: перемещение точки С от заданной реакции  $X_1$ ;

Если слагаемое: перемещение точки С от нагрузки  $P$ ;

В сумме ноль, т.к. точка С не перемещается.

Аналогично, можно получить каноническое уравнение для других степеней статической неопределенности.

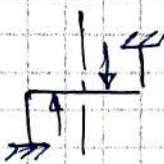
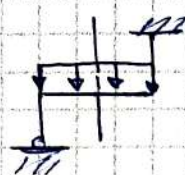
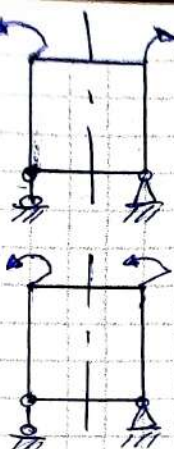
## Учет симметрий

учет симметрии при расчете статически неопределенных стержневых систем

# 2. Учет симметрии при расчете статически неопределенных стержневых систем

Симметрические нагрузки действуют симметрическими симметрическими стержневыми системами, к которым приложена симметричная нагрузка.

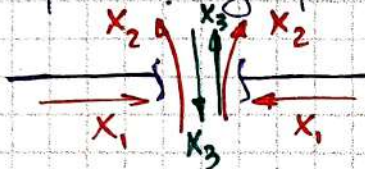
Кососимметрические нагрузки действуют симметрическими симметрическими стержневыми системами, к которым приложена кососимметрическая нагрузка, либо кососимметрическими системами, к которым приложена кососимметрическая нагрузка.



} седаціріл

} *коалы* *североамериканские*

Внедрение новых факторов в разработку конкурса подразделяется на следующие и последовательные: первое и последующее. Первое введение факторов подразделяется на первоначальное и последующее. Первое введение факторов подразделяется на первоначальное и последующее. Внедрение новых факторов в разработку конкурса подразделяется на первоначальное и последующее.



$X_1, X_2$  - ceteris paribus

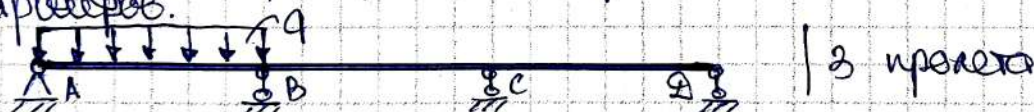
X<sub>3</sub> - recessive allele present

Особенность симметричных икосаиметрических форм  
заключается в том, что они состоят из симметричных  
форм, расположенных в определенном порядке, симметрических  
относительно центра, в результате чего получается  
однородная фигура.

## Особенности расчета статических

№3. Особенности расчета статически неопределенных многоопорных рамок.

Многосерийные изображают баллы, имеющие более сильных двух многосерийных споров и их последующих продолжительных маркеров.

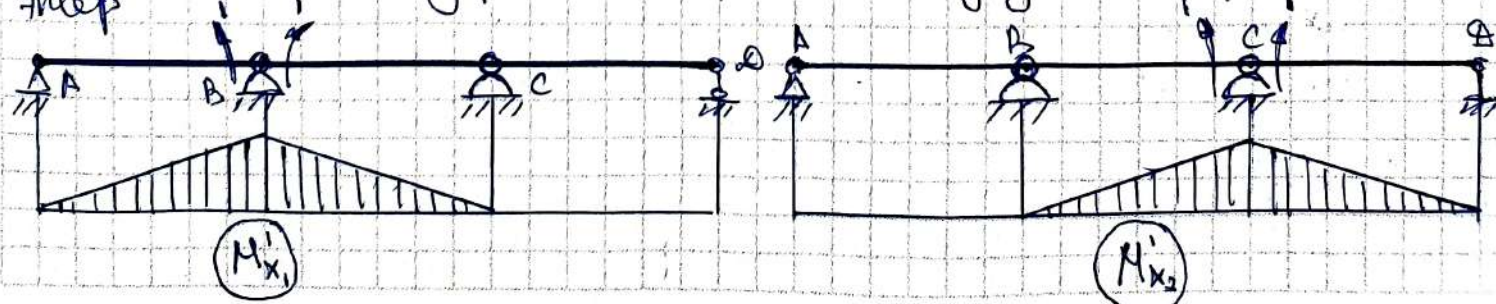


66



Несколько более сложные решения могут вводить определение  
связи с будущим шагом (шареер с опросом)

Так самими же упомянутыми последними ягами неподалеку



## №4. Особенности расчета плоскостранственных рам

особенности расчета плоскостранственных рам

Если в конструкции присутствует замкнутый контур, то для раскрытия статической неопределенности необходимо иметь один свидетельствующий (между членами замкнутого контура), а их количество определяется одинаковым свидетельствующим контурам, с которыми связи рамы делятся одинаково друг от друга. По скольку у плоских рам и балок присутствует один и тот же ВСР, будет только 3 ( $N, Q, M_b$ ), то в общем случае на плоскости замкнутого контура будет статически неопределенным три рода по притяжению трех свидетельствующих связей.

Используется один из двух расчетных приемов: рассечение или брекка исключением одной связей.

## Определение перемещений в статически

## №5. Определение перемещений в статически неопределенных стержневых системах

определение перемещений в статически неопределеных стержневых системах

Для того чтобы найти перемещение (или угол поворота) точки членов оси статически неопределенной системы (рамы или балки) нужно определить соответствующий закон теории от единичной действующей силы, приложенной к интересующему нас точке в интересующем нас направлении в любой сечении системы.

## Методы проверки расчета статически

методы проверки расчета статически неопределенных стержневых систем

## №6. Методы проверки расчета статически неопределеных стержневых систем

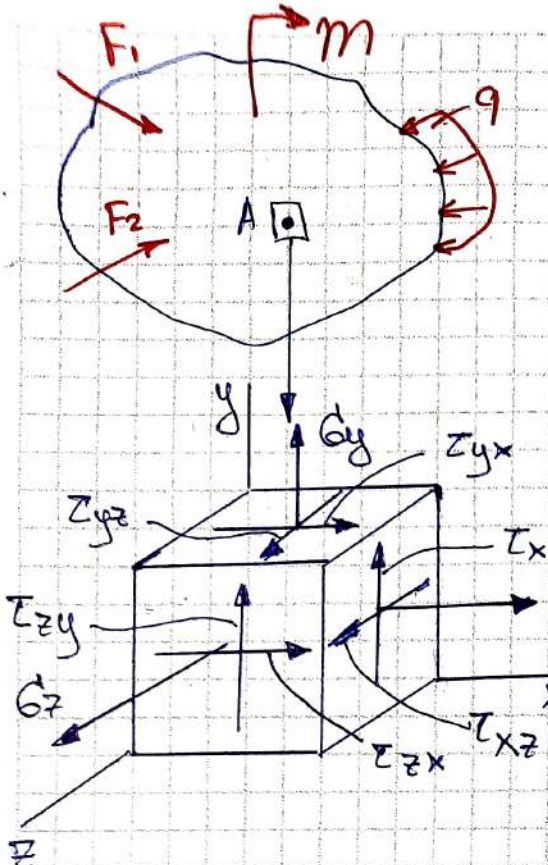
Правильность полученного решения можно проверить занес способами

- 1) Вычислить какое-либо обобщенное перемещение заданного района и членов
- 2) Вычислить обобщенное перемещение какого-либо сечения района членов рамы с помощью сечевых систем.
- 3) Решить задачу повторно, используя для решения другую симметричную систему.

## Теория напряженного состояния. Определение напряжений в произвольной площадке

## №7. Теория напряженного состояния. Определение напряжений в произвольной площадке, проходящей через заданную точку. Понятие о тензоре напряжений

Совокупность напряжений для всего множества направлений, проходящих через точку тела, образует напряжение состояния (Н.С.) в этой точке.



В окрестности точки А находящегося  
тела ведут параллелизм.  
Линии ведущие в разных направлениях  
указывают в противоположных направлениях:  
S - расходящаяся  
T - не направляемое окруж.

Telytus vanpereae

$$T_6 = \begin{pmatrix} 6x & zyx & z_{2x} \\ z_{xy} & 6y & z_{zy} \\ z_{xz} & z_{yz} & 6z \end{pmatrix}$$

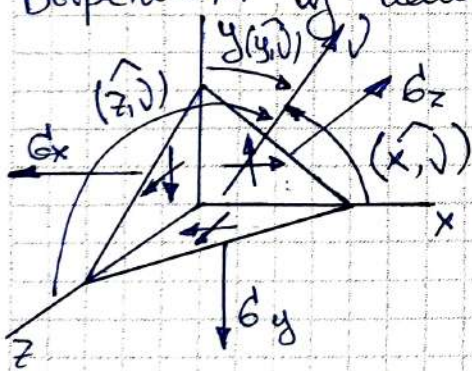
- матрица, обобщающая в себе  
исследование на трех взаимосвязанных  
переходных уровнях показателей,  
показывающих разрывы.  
Следует отметить отсутствие явных  
законов (но тем не менее имеется  
некоторое количество)

Например, если в результате определения координаты  
в заблокированном от ориентации плюсовой стороны  
направления

Creobates reponens vanrooijenae coeruleus

Если же у вас нет времени на чтение, то я могу предложить вам послушать аудиокнигу.

Возьмем из нашего курса термин: с коррелиацией).



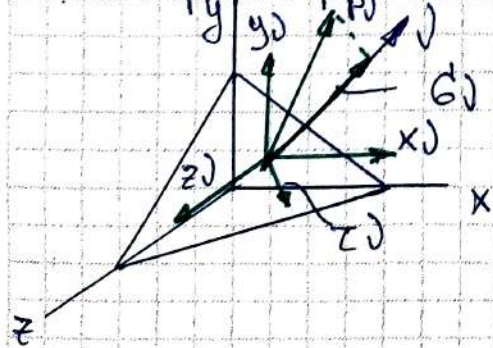
$$\cos(x, \omega) = \ell$$

$$\cos(z, 0) = n$$

$$\cos(y, \mathbf{j}) = m$$

$$l^2 + n^2 + m^2 = 1$$

Рассмотрим разные виды генератора.



Недорогие отпечатки:

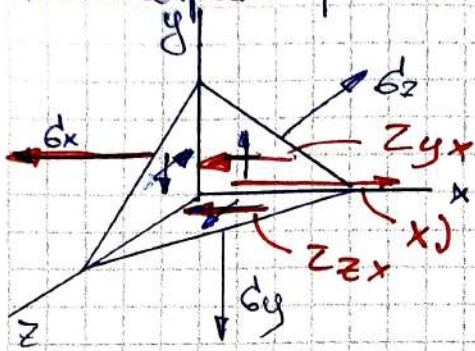
$P_0, G_0, z_0$

## Почадка

## Проверка постапке

da  
da·e  
da·m  
da·n

Рассмотрим равновесное (где присутствует вектор  $\mathbf{x}$ )



$$\sigma_x dA = G_x dA \cdot l + \sigma_{yx} \cdot dA \cdot m + \sigma_{zx} \cdot dA \cdot n$$

$$\sigma_x = G_x l + \sigma_{yx} m + \sigma_{zx} n$$

Аналогично получаем:

$$\sigma_y = \sigma_{xy} l + G_y m + \sigma_{zy} n$$

$$\sigma_z = \sigma_{xz} l + \sigma_{yz} m + G_z n$$

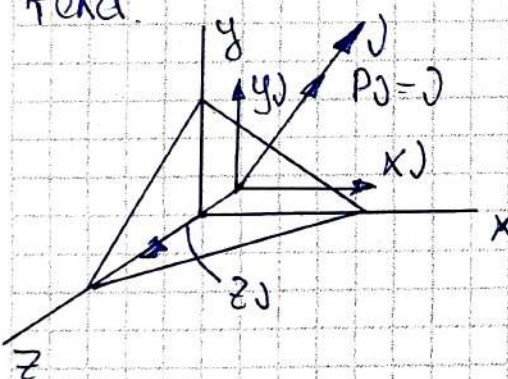
Тогда:  $\sigma_J = \sqrt{\sigma_x^2 + \sigma_y^2 + \sigma_z^2}$     }    таким образом ИС  
 $\sigma_J = \sqrt{\sigma_J^2 - G^2}$     }    получается определение

Теория напряженного состояния. Определение главных напряжений в общем случае

8. Теория напряженного состояния. Определение главных напряжений в общем случае ИС.

В общем случае вектор напряжения  $\sigma_J$  в плоскости проходящей через точку тела не совпадает по направлению с нормально  $\mathbf{l}$  к этой плоскости и раскладывается на две составляющие:  $G_J$  и  $\sigma_J$ .  
 Можно добиться такой ориентации при которой все касательные напряжения будут равны нулю. Чему соответствует только нормальное напряжение - Остается только главные напряжения, а плоскости - главные плоскости

Определение главных напряж. как и прежде рассмотрев равновесие ненесжимого тела в отсутствии тела.



Плоскость главных:  $\sigma_J = G$  (11)

$$\sigma_x = G l = G_x l + \sigma_{yx} m + \sigma_{zx} n$$

$$(G_x - G) l + \sigma_{yx} m + \sigma_{zx} n = 0 \quad (1)$$

Аналогично получаем:

$$\sigma_{xy} l + (G_y - G) m + \sigma_{zy} n = 0 \quad (2)$$

$$\sigma_{xz} l + \sigma_{yz} m + (G_z - G) n = 0 \quad (3)$$

$$l^2 + m^2 + n^2 = 1 \quad (4)$$

Система (1)-(4) имеет решение. Тогда определяется это и система равен шанс и не имеет действующих норм.

$$\begin{vmatrix} G_x - G & \sigma_{yx} & \sigma_{zx} \\ \sigma_{xy} & G_y - G & \sigma_{zy} \\ \sigma_{xz} & \sigma_{yz} & G_z - G \end{vmatrix} = 0$$

Раскроем определитель, имея получаем кубическое уравнение от главных напряжений:

$$G^3 - \Sigma_1 G^2 - \Sigma_2 G - \Sigma_3 = 0 \quad (*)$$

когда изотропного (без градиентов)

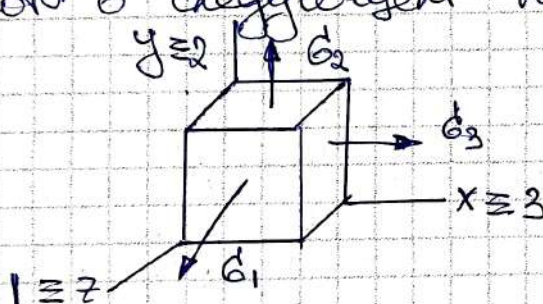
$$\bullet \Sigma_1 = G_x + G_y + G_z$$

$$\bullet \Sigma_2 = - (G_x \cdot G_y + G_y \cdot G_z + G_z \cdot G_x) + \tau_{xy}^2 + \tau_{yz}^2 + \tau_{zx}^2$$

$$\bullet \Sigma_3 = \left| \begin{array}{ccc} G_x & \tau_{yx} & \tau_{zx} \\ \tau_{xy} & G_y & \tau_{zy} \\ \tau_{xz} & \tau_{yz} & G_z \end{array} \right|$$

не зависит от ориентации в пространстве трехмерного объекта и связана с теми системами координат, потому, называются инвариантами И.С.

корни уравнения (\*) являются  $G_1, G_2, G_3$ , которые раскладываются в следующем порядке  $G_1 \geq G_2 \geq G_3$ .



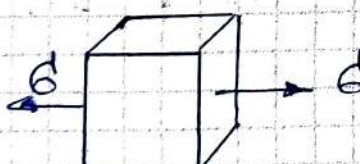
Выводы формулы определения главных напряжений. если известно

вывод формулы определения главных напряжений, в случае если одно главное напряжение известно

3. Вывод формулы определения главных напряжений, в случае если одно главное напряжение известно.

Типы напряженных состояний:

• Однородное И.С. (например, растяжение/сжатие). Прямоугольник:  $\Sigma_2 = 0$  и  $\Sigma_3 = 0$

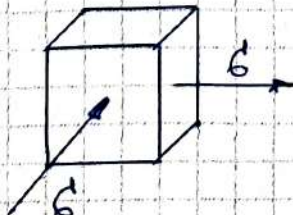
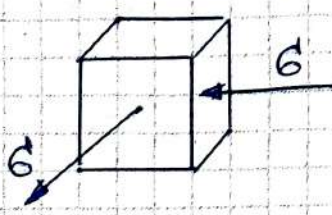


$$G_1 = G$$

$$G_2 = G_3 = 0$$

• Плоское И.С. - одно из главных напряжений известно (например, сдвиг)

$$\text{Прямоугольник: } \Sigma_3 = 0$$

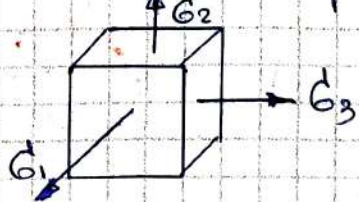


$$G_1 = G$$

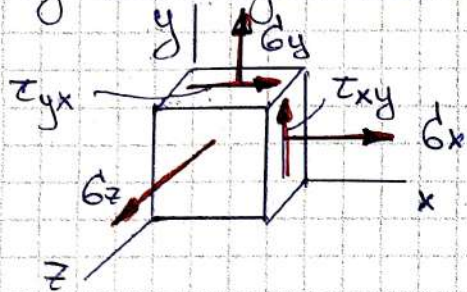
$$G_2 = 0$$

$$G_3 = -G$$

3) Трехосное Н.С. - представленный в виде главных напряжений



Определение главных напряжений в случае, когда одно из них известно:



Одна главная плоскость (например, z) известна:

$$\sigma_{zx} = \sigma_{xz} = 0; \quad \sigma_{zy} = \sigma_{yz} = 0$$

$$\begin{vmatrix} Gx - G & \sigma_{yx} & 0 \\ \sigma_{xy} & Gy - G & 0 \\ 0 & 0 & Gz - G \end{vmatrix} = 0$$

$$(Gz - G) \underbrace{(Gx - G)(Gy - G) - \sigma_{yx} \cdot \sigma_{xy}}_{\downarrow} = 0$$

$$Gz - G = 0 \quad G^2 - (Gx + Gy)G + (GxGy - \sigma_{xy}^2) = 0$$

$$G^2 = Gz$$

$$G^{I,II} = \frac{Gx + Gy \pm \sqrt{(Gx + Gy)^2 - 4(GxGy - \sigma_{xy}^2)}}{2}$$

$$G^{III} = \frac{Gx + Gy \pm \sqrt{(Gx + Gy)^2 + \sigma_{xy}^2}}{2}$$

Итак: если одна из главных плоскостей известна (то есть из касательных напряжений, а это только нормальные или вообще никакие), то одна из главных напряжений известна, а в остальных вычисляется по формулам.

### Деление тензора напряжений

VI. Деление тензора напряжений на нормальную и девиаторную составляющие

Тензор напряжений  $\sigma$  в точке тела разложается на две составляющие:

- нормальный тензор  $\sigma_n$  - компоненты которого выражаются только упругое изменение объема материала в окрестности точки.
- девиатор  $D$  - компоненты которого исчезают при проекции на плоскость, не пущен обеим чтобы выражаться.

$$\begin{bmatrix}
 G_x & \tau_{yx} & \tau_{zx} \\
 \tau_{xy} & G_y & \tau_{yz} \\
 \tau_{xz} & \tau_{yz} & G_z
 \end{bmatrix} = \begin{bmatrix}
 G_0 & 0 & 0 \\
 0 & G_0 & 0 \\
 0 & 0 & G_0
 \end{bmatrix} + \begin{bmatrix}
 G_x - G_0 & \tau_{yx} & \tau_{zx} \\
 \tau_{xy} & G_y - G_0 & \tau_{yz} \\
 \tau_{xz} & \tau_{yz} & G_z - G_0
 \end{bmatrix}$$

$$T_G = T_{G0} + \Delta G$$

Деформатор  $\rightarrow$  И.С. и его его симметрии, антиперемены и инварианты:

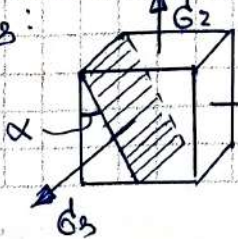
- $\mathcal{I}_1 \Delta G = (G_x - G_0) + (G_y - G_0) + (G_z - G_0) = 0$   
 $\mathcal{I}_1 \Delta G = 0$ , т.к. нет ненулевого обобщения  $\Rightarrow G_0 = \frac{G_x + G_y + G_z}{3}$
- $\mathcal{I}_2 \Delta G = -(G_x - G_0)(G_y - G_0) - (G_y - G_0)(G_z - G_0) - (G_z - G_0)(G_x - G_0) + \tau_{xy}^2 + \tau_{xz}^2 + \tau_{yz}^2 =$   
 $= \frac{1}{6} \left[ (G_x - G_y)(G_y - G_z) + (G_y - G_z)(G_z - G_x) + (G_z - G_x)(G_x - G_y) + 6(\tau_{xy}^2 + \tau_{xz}^2 + \tau_{yz}^2) \right]$
- $\Delta G = \begin{vmatrix} G_x - G_0 & \tau_{yx} & \tau_{zx} \\ \tau_{xy} & G_y - G_0 & \tau_{yz} \\ \tau_{xz} & \tau_{yz} & G_z - G_0 \end{vmatrix}$

### Теория напряжений. Мора

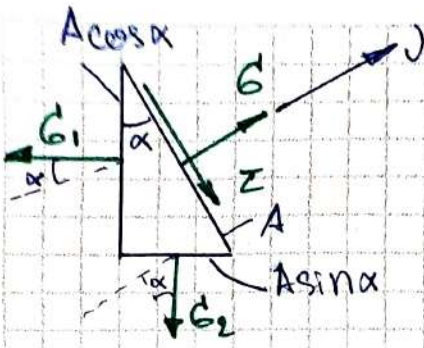
круговая диаграмма О. Мора

### №12. Теория напряжений. Круговая диаграмма О. Мора

Напряжения соотносят между главными напряжениями  $G_1, G_2, G_3$ :



Рассмотрим симметрию между параллельными главными напряжениями  $G_3$ .



Найден нормальны<sup>о</sup> к G и касательны<sup>о</sup> к G направления на трех площадках.

$$J: G \cdot A - G_1 \cdot (A \cos \alpha) \cos \alpha - G_2 \cdot (A \sin \alpha) \sin \alpha = 0$$

$$G = G_1 \cdot \cos^2 \alpha + G_2 \cdot \sin^2 \alpha = G_1 \left( \frac{1 + \cos 2\alpha}{2} \right) + G_2 \left( \frac{1 - \cos 2\alpha}{2} \right)$$

$$G = \frac{G_1 + G_2}{2} + \frac{G_1 - G_2}{2} \cos 2\alpha \quad (1)$$

$$J: \tau \cdot A + G_2 \cdot (A \sin \alpha \cos \alpha) - G_1 \cdot (A \cos \alpha) \sin \alpha = 0$$

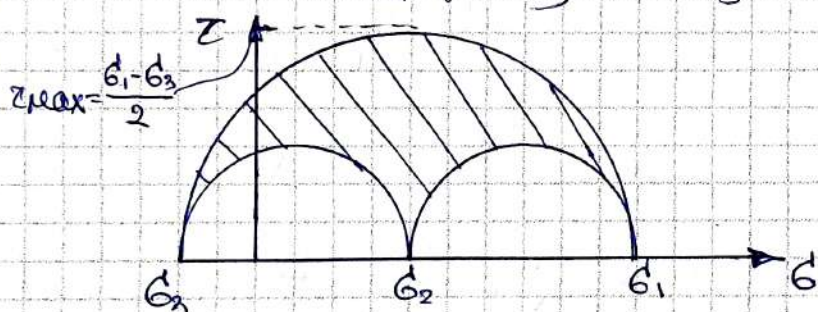
$$\tau = (G_1 - G_2) \sin \alpha \cos \alpha = \frac{G_1 - G_2}{2} \cdot \sin 2\alpha \quad (2)$$

Уравнения (1) и (2) записаны в координатах  $(G, \tau)$ :

$\tau_\alpha, G_\alpha$  - направления в площадке



Рассмотрим симметрию площадок, параллельных главным направлениям  $G_2$ , получим здесь другие кривые:



Знак касательного направления в расстоянии  $\tau_\alpha$  проходит из волны нормальной распределенной сферы только верхнюю половину окружности.

Также, симметрические площадки, параллельные другим главным направлениям, распределяются из трех симметрических окружностей.

Также, симметрические промежуточные ориентации площадки, тоже, находятся по диагонали. Но не всегда есть. Однако, все они находятся в пределах замкнутых областей.

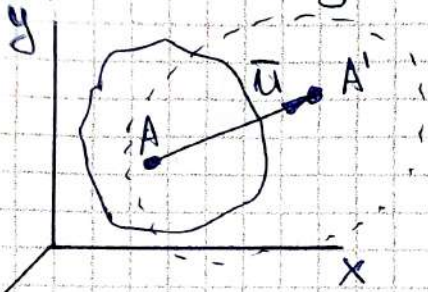
Теория деформаций. Деформированное состояние в точке деформации НЕ БЫЛО

N12 Теория деформаций. Деформированное состояние в точке. Новые деформации. Обобщенное деформированное.

Совершается движение деформации в по всем направлениям, проходящих через точку тела и угловых деформаций в всех площадках, проходящих через эту, обрачую деформированное состояние в этой точке.

Это определенное деформированное состояние достается из всех линейных деформаций по любым трём взаимно перпендикулярным направлениям и угловое деформированное

6) Трёх измеримых, неподвижных координатных осей вращения.

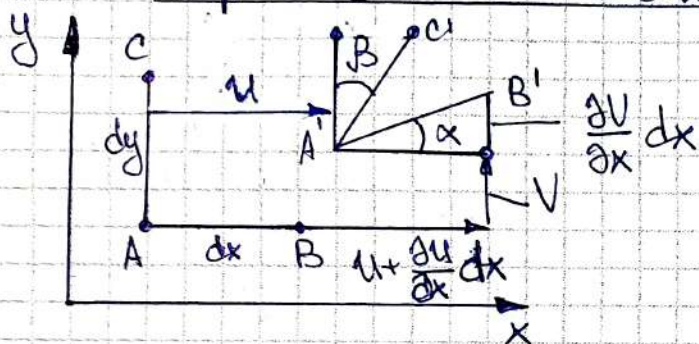


$\bar{u}(x, y, z)$  - перемещение

$u(x, y, z)$  - проекция на ось  $x$ ;  
 $v(x, y, z)$  - проекция на ось  $y$ ;  
 $w(x, y, z)$  - проекция на ось  $z$ .

$$\bar{u} = u\bar{i} + v\bar{j} + w\bar{k}$$

Дифференциальная зависимость между деформацией и перемещением. Соотношение Коши.



Рассмотрим на примере деформации в плоскости  $xy$ .

В пределах упругости перемещение мало  $\Rightarrow$  деформации мало  $\Rightarrow$

$$\sin x \approx x; \cos x \approx 1; \tan x \approx x$$

Точка  $A$  перемещается в точку  $A'$  (перемещение  $u$ )  
 Точка  $B$  перемещается в точку  $B'$  (перемещение  $v$  отрезка  $AB$ ). Тогда

$$\epsilon_x = \frac{A'B' - AB}{AB} = \frac{(dx + \frac{\partial u}{\partial x} dx) - dx}{dx} = \frac{\frac{\partial u}{\partial x} dx}{dx} = \frac{\partial u}{\partial x}$$

Аналогично, можно записать:  $\epsilon_y = \frac{\partial v}{\partial y}$ ;  $\epsilon_z = \frac{\partial w}{\partial z}$

$$\tan \alpha \approx \alpha = \frac{\frac{\partial v}{\partial x} dx}{dx + \frac{\partial u}{\partial x} dx} = \frac{\frac{\partial v}{\partial x}}{1 + \frac{\partial u}{\partial x}} = \frac{\partial v}{\partial x}$$

$$\tan \beta \approx \beta = \frac{\frac{\partial w}{\partial y} dy}{dy + \frac{\partial v}{\partial y} dy} = \frac{\frac{\partial w}{\partial y}}{1 + \frac{\partial v}{\partial y}} = \frac{\partial w}{\partial y}$$

$\gamma_{xy} = \alpha + \beta$  - измерение угла  $\angle BAC$ , т.е. угла

$$\left. \begin{aligned} \gamma_{xy} &= \frac{\partial u}{\partial y} + \frac{\partial v}{\partial x} \\ \gamma_{yz} &= \frac{\partial v}{\partial z} + \frac{\partial w}{\partial y} \\ \gamma_{xz} &= \frac{\partial w}{\partial z} + \frac{\partial u}{\partial x} \end{aligned} \right\} \text{Соотношения Коши.}$$

Деформированное состояние полностью определяется тензором деформации (из теории упругости)

Проведем следующую замену:

$$E_x \rightarrow E_x$$

$$E_y \rightarrow E_y$$

$$E_z \rightarrow E_z$$

$$\gamma_{xy} \rightarrow \frac{1}{2} \gamma_{xy}$$

$$\gamma_{xz} \rightarrow \frac{1}{2} \gamma_{xz}$$

$$\gamma_{yz} \rightarrow \frac{1}{2} \gamma_{yz}$$

$$T_E = \begin{pmatrix} E_x & \frac{1}{2} \gamma_{xy} & \frac{1}{2} \gamma_{zx} \\ \frac{1}{2} \gamma_{xy} & E_y & \frac{1}{2} \gamma_{zy} \\ \frac{1}{2} \gamma_{xz} & \frac{1}{2} \gamma_{yz} & E_z \end{pmatrix} \quad \begin{array}{l} \text{тензор} \\ \text{деформации} \end{array}$$

т.е. полное описание с тензором Н.С.

Компоненты тензора могут выражаться в зависимости от ориентации координат. Можно добиться такого положения координат при которых члены деформации равны нулю. При этом оставшиеся деформации будут равными, а соответствующие им оси - главные оси.

Проведя анализичные действия, мы получим:

$$E^3 - \gamma_{1E} E^2 - \gamma_{2E} E - \gamma_{3E} = 0 \Rightarrow E_1 > E_2 > E_3$$

- $\gamma_{1E} = E_x + E_y + E_z$

- $\gamma_{2E} = - (E_x \cdot E_y + E_y \cdot E_z + E_z \cdot E_x) + \frac{1}{4} \gamma_{xy}^2 + \frac{1}{4} \gamma_{yz}^2 + \frac{1}{4} \gamma_{zx}^2$

- $\gamma_{3E} = |T_E| = \begin{vmatrix} E_x & \frac{1}{2} \gamma_{xy} & \frac{1}{2} \gamma_{zx} \\ \frac{1}{2} \gamma_{xy} & E_y & \frac{1}{2} \gamma_{zy} \\ \frac{1}{2} \gamma_{xz} & \frac{1}{2} \gamma_{yz} & E_z \end{vmatrix}$

При изменении осей координат компоненты Р.С. изменяются, а  $\gamma_{1E}, \gamma_{2E}, \gamma_{3E}$  нет. Поэтому их называют инвариантами Р.С.

Разложение тензора деформации на шаровую и генератор.

Смотря Бриджмена показали, что все стороны симметрии не приведут к сдвиговому деформации. Поэтому можно представить любую деформацию как сумму сжатия объема + изменение формы (сдвиг).

- Шаровой тензор - изменение объема;
- генератор - изменение формы.

$$\underbrace{\begin{pmatrix} E_x & \frac{1}{2} \gamma_{xy} & \frac{1}{2} \gamma_{zx} \\ \frac{1}{2} \gamma_{xy} & E_y & \frac{1}{2} \gamma_{zy} \\ \frac{1}{2} \gamma_{xz} & \frac{1}{2} \gamma_{yz} & E_z \end{pmatrix}}_{T_E} = \underbrace{\begin{pmatrix} E_0 & 0 & 0 \\ 0 & E_0 & 0 \\ 0 & 0 & E_0 \end{pmatrix}}_{T_E \text{ (шаровой)}} + \underbrace{\begin{pmatrix} E_x - E_0 & \frac{1}{2} \gamma_{xy} & \frac{1}{2} \gamma_{zx} \\ \frac{1}{2} \gamma_{xy} & E_y - E_0 & \frac{1}{2} \gamma_{zy} \\ \frac{1}{2} \gamma_{xz} & \frac{1}{2} \gamma_{yz} & E_z - E_0 \end{pmatrix}}_{D_E \text{ (генератор)}}$$

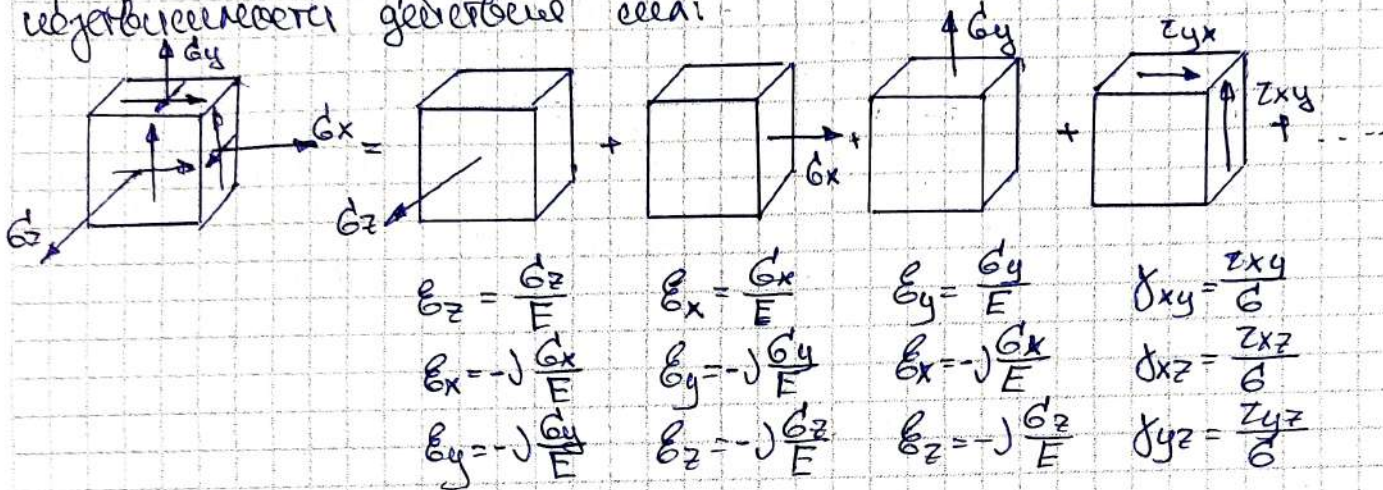
Для деления А.С. исходим из условия, что первое изображение деформатора деформирующее равна нулю (т.к. это изображение обнулено)

$$\gamma_{1\text{def}} = (\epsilon_x - \epsilon_0) + (\epsilon_y - \epsilon_0) + (\epsilon_z - \epsilon_0) = 0 \Rightarrow \epsilon_0 = \frac{\epsilon_x + \epsilon_y + \epsilon_z}{3}$$

Обобщенный закон Гука для изотропного материала

№13. Обобщенный закон Гука для изотропного материала

Представим напряженное состояние используя принцип независимости действий если:



В общем случае напряженное в пределах линий деформации получаем обобщенный закон Гука:

$$\left. \begin{aligned} \epsilon_x &= \frac{1}{E} [G_x - \nu(G_y + G_z)] \\ \epsilon_y &= \frac{1}{E} [G_y - \nu(G_x + G_z)] \\ \epsilon_z &= \frac{1}{E} [G_z - \nu(G_x + G_y)] \\ \gamma_{xy} &= \frac{\gamma_{xy}}{G} \\ \gamma_{xz} &= \frac{\gamma_{xz}}{G} \\ \gamma_{yz} &= \frac{\gamma_{yz}}{G} \end{aligned} \right\} G = \frac{E}{2(1+\nu)}$$

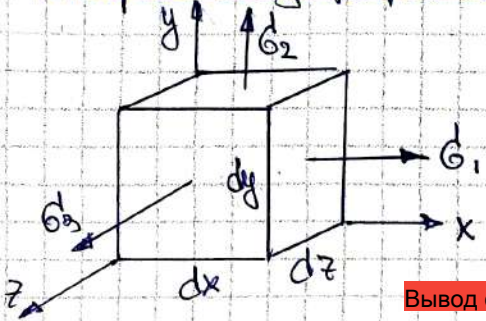
## Объемная деформация

№14. Объемная деформация

$$\Omega = \epsilon_x + \epsilon_y + \epsilon_z = \frac{1}{E} [G_x - \nu(G_y + G_z)] + \frac{1}{E} [G_y - \nu(G_x + G_z)] + \frac{1}{E} [G_z - \nu(G_x + G_y)]$$

$$\Theta = \frac{1-2\nu}{E} (G_x + G_y + G_z)$$

№15. Выход формул для определения удельной потенциальной энергии деформации в общем случае Н.С.



Напряжения соотносятся между собой в таком же виде:

$G_1$  соответствует  $\epsilon_1$  ( $\epsilon_x$ )  
 $G_2$  соответствует  $\epsilon_2$  ( $\epsilon_y$ )  
 $G_3$  соответствует  $\epsilon_3$  ( $\epsilon_z$ )

Вывод формулы определения удельной потенциальной энергии деформации в общем случае

При определении потенциальной энергии используют допущение, что каждая сила совершает работу на собственном перемещении.

$dA = dU$  - при статическом напряжении:

$$dU = \frac{1}{2} \underbrace{G_1 d_z dy}_{\text{сила}} \cdot \underbrace{\epsilon_1 dx}_{\text{перемещение}} + \frac{1}{2} G_2 dx dz \epsilon_2 dy + \frac{1}{2} G_3 dx dy \epsilon_3 dz$$

$$a = \frac{dU}{dV} = \frac{1}{2} \frac{(G_1 \epsilon_1 + G_2 \epsilon_2 + G_3 \epsilon_3) dx dy dz}{dx dy dz} = \frac{1}{2} (G_1 \epsilon_1 + G_2 \epsilon_2 + G_3 \epsilon_3)$$

Используя закон Гука получим:

$$a = \frac{1}{2E} \left[ G_1 (G_1 - J(G_2 + G_3)) + G_2 (G_2 - J(G_1 + G_3)) + G_3 (G_3 - J(G_1 + G_2)) \right] =$$

$$= \frac{1}{2E} (G_1^2 + G_2^2 + G_3^2 - 2JG_1G_2 - 2JG_2G_3 - 2JG_1G_3) =$$

$$= \frac{1}{2E} (G_1^2 + G_2^2 + G_3^2 - (2J+2) [G_1G_2 + G_2G_3 + G_1G_3] + 2 (G_1G_2 + G_2G_3 + G_1G_3)) =$$

$$= \frac{1}{2E} \left( \underbrace{(G_1 + G_2 + G_3)^2}_{J_1} - \underbrace{2(J+1)(G_1G_2 + G_2G_3 + G_1G_3)}_{J_2} \right)$$

$$a = \frac{1}{2E} (J_1^2 + 2(J+1)J_2)$$

Применение: Удельная потенциальная энергия деформации при различных формах напряжения:

$$J_{1\Delta} = 0 ; \quad J_{2\Delta} = \frac{1}{6} \left[ (G_1 - G_2)^2 + (G_2 - G_3)^2 + (G_3 - G_1)^2 \right]$$

$$a_{\Delta} = \frac{1}{2E} (0 + 2(J+1) \cdot \frac{1}{6} ((G_1 - G_2)^2 + (G_2 - G_3)^2 + (G_3 - G_1)^2))$$

$$a_{\Delta} = \frac{J+1}{6} \left[ (G_1 - G_2)^2 + (G_2 - G_3)^2 + (G_3 - G_1)^2 \right]$$

Генерал настороженій підозрює, що він відомий

$$a_{60} = \frac{1}{2E} [3 \cdot 60^2 - 2 \cup 3 \cdot 60^2] = \frac{3(1-2\cup)}{2E} 60^2$$

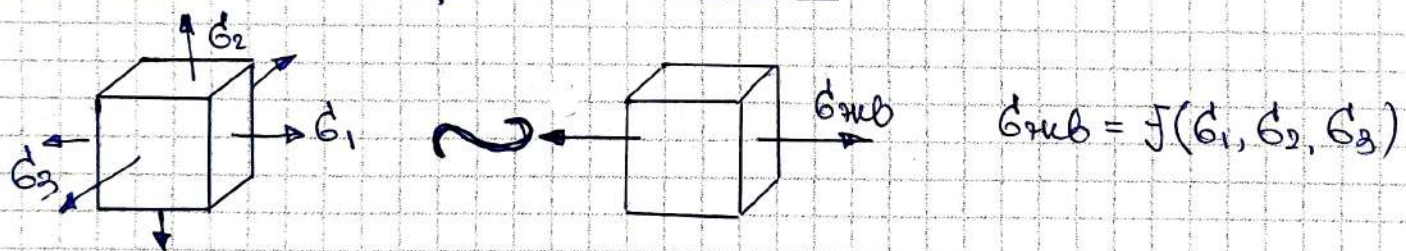
$$a_{60} = \frac{1-2\beta}{6E} (G_1 + G_2 + G_3)^2$$

Эквивалентное напряжение. Коэффициент запаса

Пределыем Н.С. называют состоящее из промежуточного материала непередаваемое предшествующее поколение в нем пластических деформаций (у пластичных материалов) или трещин (у хрупких материалов).

Число и порядок которых изображение занеса простоости в  
такие тела, сдел пропорциональное изображение в п  
раз всех изображений изображения составленное в такой  
форме приводит к важнейшему пределу составленных  
в её простоости.

Для И.С. требуется рабочая паспортная номенклатура для этого земли.



При извлечении изображения направление баланса определяет, какая из групп изображения преобладает в изображении.

$$n = \frac{G\tau}{6\pi k b}$$

## ЧУРЧІЛЛ НАСІРДАС

$$n = \frac{G_{BD}}{G_{BD}}$$

## Хранилище материалов

Теория начала текучести. Вывод формулы определения эквивалентного напряжения

НП Теория изгиба гипотеза наибольших касательных напряжений  
Возбужденный изгиб определение. изгиб вдоль оси наибольшее.

1) Исследуем материал:

Материал изотропный, стационарный, однородный  $\Rightarrow$   
функция  $f$  симметрична

2) Все материалы работают на растяжение/сжатие однаково:

$$\sigma_{\text{стм}} = \sigma_{\text{тр}} \Rightarrow f(G_1, G_2, G_3) = f(-G_1, -G_2, -G_3)$$

3) Функция зависит лишь от разности аргументов, но  
не зависит от самих аргументов.

$$f(G_1, G_2, G_3) = f(G_1 \pm P, G_2 \pm P, G_3 \pm P)$$

4) Зададим линейную функцию:

$$\sigma_{\text{экв}} = A [ |G_1 - G_2| + |G_2 - G_3| + |G_3 - G_1| ], \quad G_1 > G_2 > G_3$$

Проведем эксперимент на растяжение/сжатие:

$$\begin{cases} G_1 = G = G_{\text{тр}} \\ G_2 = G_3 = 0 \end{cases} \Rightarrow A = \frac{1}{2}$$

Раскроем модули и получим:  $\sigma_{\text{экв}} = G_1 - G_3$

Достоинства: линейная теория  $\Rightarrow$  имеет широкое распространение  
Недостаток: не учитывает 2-е главное направление.

На теории подтверждена экспериментально для частных  
материалов.

Теория начала текучести энергии изменения формы  
вывод формулы определения эквивалентного напряжения:

18. Теория начала текучести энергии изменения формы.  
Вывод формулы определение эквивалентного напряжения.

Допущение (1)-(3) аналогичны пункту 17

4) Зададим изодромную функцию:

$$\sigma_{\text{экв}} = A \sqrt{(G_1 - G_2)^2 + (G_2 - G_3)^2 + (G_3 - G_1)^2}$$

Проведем эксперимент на растяжение/сжатие:

$$\begin{cases} G_1 = G \\ G_2 = G_3 = 0 \end{cases} \Rightarrow A = \frac{1}{\sqrt{2}}$$

Получаем изодромную формулу:

$$\sigma_{\text{экв}} = \frac{1}{\sqrt{2}} \sqrt{(G_1 - G_2)^2 + (G_2 - G_3)^2 + (G_3 - G_1)^2}$$

На теории подтверждена экспериментально.

N19

Теория разрушения Мора. Вывод формул для определения эквивалентного напряжения

1) Исследуем материал:

вывод формулы для определения эквивалентного напряжения

Теория разрушения Мора

Материал однородный  $\Rightarrow$  функция симметрична  $\Rightarrow \sigma_{\text{экв}} = f(\sigma_1, \sigma_2, \sigma_3)$

2) Материал может быть как:  $\sigma_{\text{тр}} = \sigma_{\text{сущ}}$  или  $\sigma_{\text{тр}} \neq \sigma_{\text{сущ}}$

3) Если образование трещин, то  $\pm P$  может оказывать влияние ( $P$  - возникшее давление)

4) Используя линейную функцию, получаем:

$$\sigma_{\text{экв}} = A(\sigma_1 - \sigma_3) + B \cdot P$$

$P$ -может быть любым (например,  $P = \frac{\sigma_1 + \sigma_2 + \sigma_3}{3}$  - изредка такое давление), однако мы выбирайт  $P$  наиболее:

$$\sigma_{\text{экв}} = A(\sigma_1 - \sigma_3) + B \cdot \sigma_{\text{тр}}$$

Преобразим эксперимент и определим  $A$  и  $B$ :

а) Растяжение:  $\sigma_{\text{экв}} = \sigma_{\text{тр}}; \sigma_1 = \sigma_{\text{тр}}; \sigma_3 = 0 \Rightarrow A + B = 1$

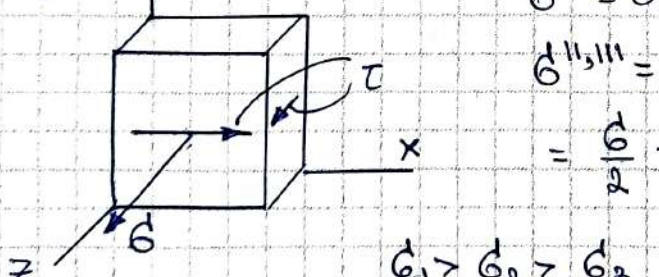
б) Сжатие:  $\sigma_{\text{экв}} = \sigma_{\text{тр}}; \sigma_1 = 0; \sigma_3 = -\sigma_{\text{тр}} \Rightarrow A = \frac{\sigma_{\text{тр}}}{\sigma_{\text{тр}}}$

Полученные линейные выражения дают  $A$  и  $B$  получаем:

$$\sigma_{\text{экв}} = \sigma_1 - J_T \sigma_3, \text{ где}$$

$$J_T = \frac{\sigma_{\text{тр}}}{\sigma_{\text{сущ}}} \quad \left\{ \begin{array}{l} \text{для упругого} \\ \text{материала} \end{array} \right. \quad \text{или} \quad J_T = \frac{\sigma_{\text{тр}} \text{раст}}{\sigma_{\text{тр}} \text{сжат}} \quad \left\{ \begin{array}{l} \text{для хрупкого} \\ \text{материала} \end{array} \right.$$

N20. Вывод формул для вычисления эквивалентного напряжения в случае упрощенного напряженного состояния по двум теориям: теории текучести и теории разрушения Мора.



$$\sigma_1 > \sigma_2 > \sigma_3$$

$$\bullet \quad \sigma_1 = \frac{\sigma}{2} + \frac{1}{2} \sqrt{\sigma^2 + 4\tau^2}$$

$$\bullet \quad \sigma_2 = 0$$

$$\bullet \quad \sigma_3 = \frac{\sigma}{2} - \frac{1}{2} \sqrt{\sigma^2 + 4\tau^2}$$

$$\begin{aligned} \sigma' &= 0 \\ \sigma^{11,111} &= \frac{\sigma + \sigma}{2} \pm \sqrt{\left(\frac{\sigma - \sigma}{2}\right)^2 + \tau^2} = \\ &= \frac{\sigma}{2} \pm \frac{1}{2} \sqrt{\sigma^2 + 4\tau^2} \end{aligned}$$

НЕ БЫЛО

Вывод формул для вычисления эквивалентного напряжения в случае упрощенного напряженного состояния Мора

НЕ БЫЛО

- Представим напряжение в теории сварки вектором тензора наибольших касательных напряжений:

$$\sigma_{\text{нкв}} = G_1 - G_3 = \left( \frac{G}{2} + \frac{1}{2} \sqrt{G^2 + 4Z^2} \right) - \left( \frac{G}{2} - \frac{1}{2} \sqrt{G^2 + 4Z^2} \right)$$

$$\sigma_{\text{нкв}} = \sqrt{G^2 + 4Z^2}$$

- Представим напряжение в теории сварки тензора средних напряжений вектором:

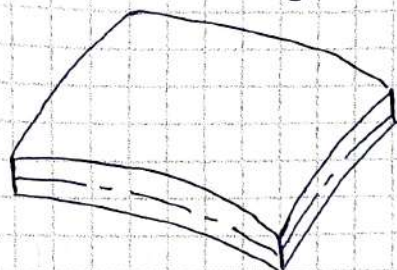
$$\begin{aligned} G_{\text{св}} &= \frac{1}{\sqrt{2}} \sqrt{(G_1 - G_2)^2 + (G_2 - G_3)^2 + (G_3 - G_1)^2} = \\ &= \frac{1}{\sqrt{2}} \sqrt{\left( \frac{G}{2} + \frac{1}{2} \sqrt{G^2 + 4Z^2} \right)^2 + \left( -\frac{G}{2} + \frac{1}{2} \sqrt{G^2 + 4Z^2} \right)^2 + \left( -\sqrt{G^2 + 4Z^2} \right)^2} = \\ &= \frac{1}{\sqrt{2}} \sqrt{\left( \frac{G}{2} \right)^2 + 2 \cdot \frac{G}{2} \cdot \frac{1}{2} \sqrt{G^2 + 4Z^2} + \frac{1}{4} (G^2 + 4Z^2) + \left( \frac{G}{2} \right)^2 + 2 \cdot \frac{G}{2} \cdot \frac{1}{2} \sqrt{G^2 + 4Z^2} + \frac{1}{4} (G^2 + 4Z^2) + G^2 + 4Z^2} = \\ &= \frac{1}{\sqrt{2}} \sqrt{2 \left( \frac{G}{2} \right)^2 + \frac{G}{4} (G^2 + 4Z^2)} = \sqrt{\frac{G^2}{4} + \frac{3}{4} G^2 + \frac{3}{4} 4Z^2} \\ \sigma_{\text{нкв}} &= \sqrt{G^2 + 3Z^2} \end{aligned}$$

- Представим напряжение в теории разрывов Ньютона:

$$\sigma_{\text{нкв}} = G_1 - 2G_3 = \left( \frac{G}{2} + \frac{1}{2} \sqrt{G^2 + 4Z^2} \right) - 2 \left( \frac{G}{2} - \frac{1}{2} \sqrt{G^2 + 4Z^2} \right)$$

$$\sigma_{\text{нкв}} = \frac{1-2\tau}{2} G + \frac{1+2\tau}{2} \sqrt{G^2 + 4Z^2}$$

## N21. Безмоментная теория расчета оболочек вращения. Вывод уравнения Лапласа



Оболочка - тело обраzuемое двумя скрещивающимися поверхности, у которых одна развернута (развернута) наружу, а другая - вовнутрь.

Поверхность, развернутую изогнув от скрещивающихся поверхностей, называется срединной поверхностью.

Оболочка вращения - оболочка, срединная поверхность которой получена вращением обраzuющей вокруг некоторой оси.

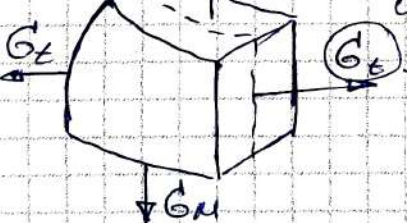
Теория расчета оболочек вращения. Вывод уравнения Лапласа  
безмоментная теория расчета

обраzuющая

В любой точке срединной поверхности оболочки вращения можно выделить два направления: перпендикулярное (обоюдно обраzuющее) и окружющее (перпендикулярное перпендикульарному).

- $r_m$  - радиус приведенного перпендикульарного направления в расстоянии от вращения (т.е. радиус приведенного обраzuющего в этой точке)
- $r_t$  - радиус приведенного окружющего направления в расстоянии от вращения точки.

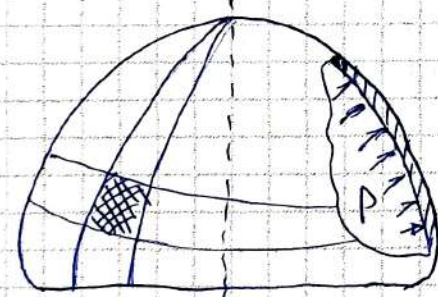
Выделенное направление образует перпендикульар и двумя тангенциальными сопряженными - перпендикульарное сопряженное



$G_m$  - тангенциальное сопряженное

$G_t$

$G_m$



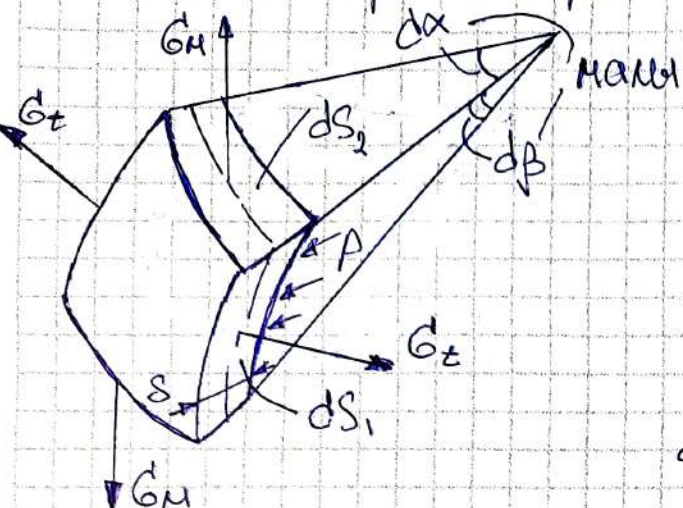
В безмоментной теории оболочек напряжения не зависят от распределения нагрузки. В связи с этим в теории вращения напряжения отсутствуют.

Основные допущения:

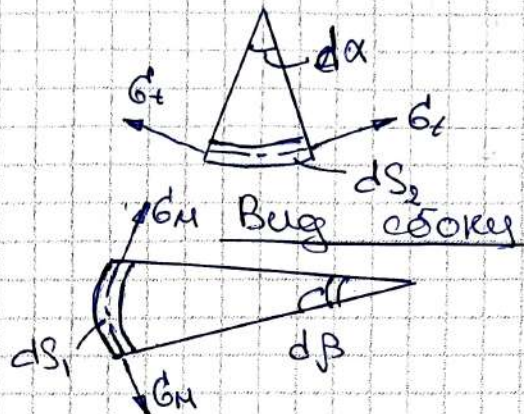
- 1) Оболочка осесимметрична, изогнувшись распределенной нагрузкой
- 2) Отсутствуют сопротивления изгибу
- 3) Отсутствуют резкие переходы в схеме оболочки
- 4) Кинематика с неизгибающимися слоями: слои оболочки при её деформировании друг на друга не влияют.

Оборудка считается гидростатической, если  $\frac{P_{\text{ж}}}{\gamma} > 7$

Возможно также другие гидравлические и гидравлические схемы и рассматриваются уравнения равновесия



Буг сверху:



Спроектируем схему на направление радиусов:

$$P dS_1 dS_2 = G_t dS_1 \gamma \frac{dx}{2} \cdot 2 + 2 G_M dS_2 \gamma \frac{d\beta}{2}$$

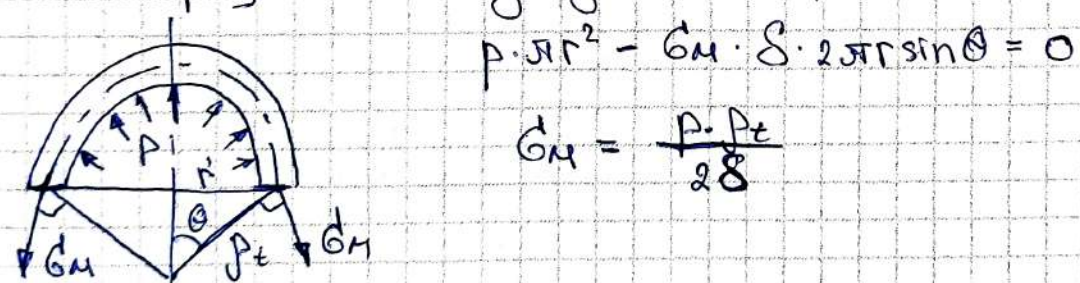
$$dS_1 = d\beta \cdot \rho_M; \quad dS_2 = dx \cdot \rho_t$$

$$P d\beta \rho_M dx \rho_t = G_t d\beta \rho_M S \cdot dx + G_M d\beta \rho_t S d\beta$$

$$P \rho_M \rho_t = G_t \rho_M S + G_M \rho_t S$$

$$\frac{G_M}{\rho_M} + \frac{G_t}{\rho_t} = \frac{P}{S} \quad | \text{ формула Лапласа}$$

$G_M$  определяется из условия равновесия



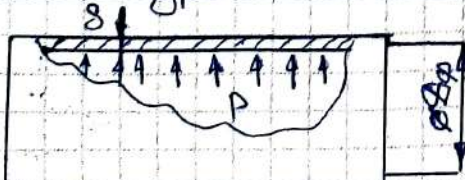
$$P \cdot \pi r^2 - G_M \cdot S \cdot 2\pi r \sin \theta = 0$$

$$G_M = \frac{P \cdot \rho_t}{28}$$

Определение напряжений в цилиндрической и сферической оболочках

N22. Определение напряжений в цилиндрической и сферической оболочках, находящихся в равномерном внешнем давлении по Лапласовой теории

• Цилиндрическая оболочка:



$$\rho_M = \infty$$

$$\rho_t = \frac{\rho_M}{2}$$

Уг. уравнение плава: определяем  $G_t$ :

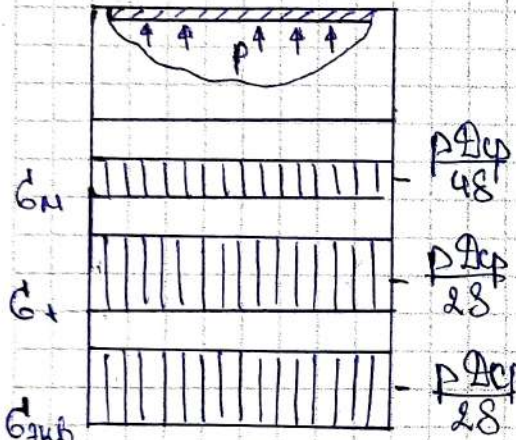
$$\frac{G_M}{\rho M} + \frac{G_t}{\rho t} = \frac{P}{S} \Rightarrow G_t = P \cdot \frac{\rho t}{S} \Rightarrow G_t = \frac{P D_{cp}}{2S}$$

Уг. условие равновесия определяем  $G_M$ :

$$G_M \cdot \frac{\pi D_{cp} S}{4} = P \cdot \frac{\pi D_{cp}^2}{4}$$

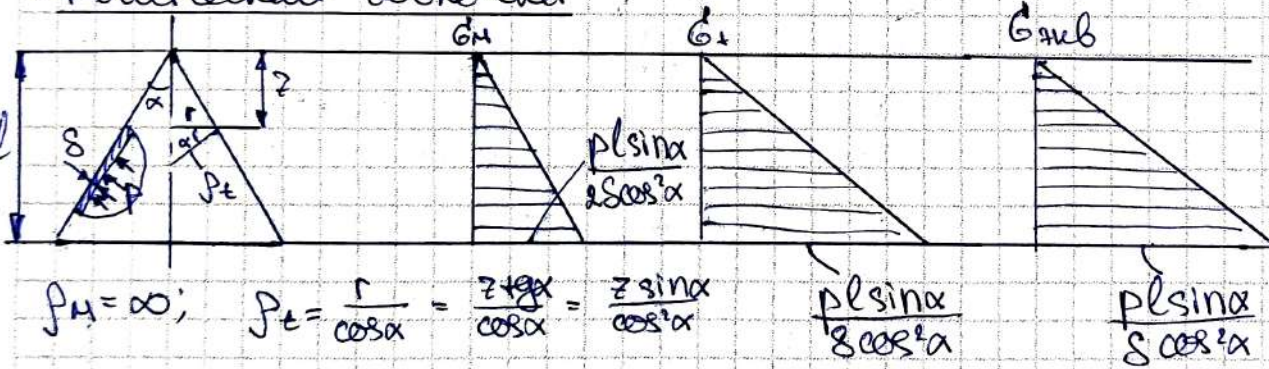
$$G_M = \frac{P D_{cp}}{4S}$$

Получаем:  $G_M = \frac{P D_{cp}}{4S}$  и  $G_t = \frac{P D_{cp}}{2S}$  | когевые  
форсуют



П.с. Гипотетическое напряжение  $G_t$  вдоль боковых перегородок  $G_M$ . Потому трубопроводы, сажа волны и т.д. движутся вдоль водонепроницаемых шариков, а не поперек.

### • Конусовая оболочка



Уг. уравнение плава определяем  $G_t$ :

$$\frac{G_M}{\rho M} + \frac{G_t}{\rho t} = \frac{P}{S} \Rightarrow G_t = \frac{P \sin \alpha}{S \cos^2 \alpha} \quad \left| \begin{array}{l} z=0: G_t = 0 \\ z=l: G_t = \frac{p_M \sin \alpha}{S \cos^2 \alpha} \end{array} \right.$$

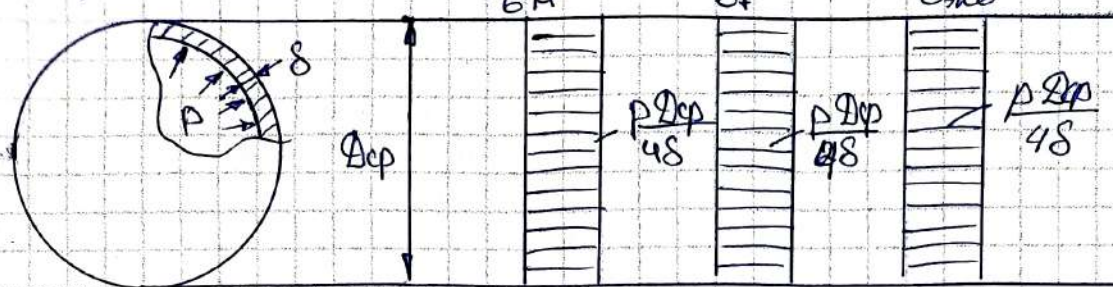
Уг. условие равновесия определяем  $G_M$ :

$$G_M \cdot (2\pi r l) \cdot \cos \alpha = P \cdot \pi r^2$$

$$2G_M S \cos \alpha = P \cdot r$$

$$G_M = \frac{P \cdot r}{2 S \cos \alpha} = \frac{P \cdot z + g(x)}{2 S \cos \alpha} = \frac{p_t \sin \alpha}{2 S \cos^2 \alpha} \quad \left| \begin{array}{l} z=0: G_M = 0 \\ z=l: G_M = \frac{p_M \sin \alpha}{2 S \cos^2 \alpha} \end{array} \right.$$

• сферическая оболочка:



И уравнение равновесия определяем  $G_M$ :

$$G_M \cdot (2\pi r 8) \cos\left(\frac{\pi}{2} - \theta\right) = P \cdot \pi r^2$$

$$2G_M \cdot r 8 \sin \theta = pr^2$$

$$G_M = \frac{pr}{28 \sin \theta} = \frac{pr \sin \theta}{8 \sin \theta} = \frac{P_Dcp}{8} = \frac{P_Dcp}{48}$$

И уравнение Пикаса определяем  $G_t$ :

$$\frac{G_M}{P_M} + \frac{G_t}{P_t} = \frac{P}{8} \Rightarrow G_t = \frac{P_Dt}{8} - G_M = \frac{P_Dcp}{28} = \frac{P_Dcp}{48} = \frac{P_Dcp}{48}$$

Расчет толстостенных труб. Вывод дифференциального уравнения равновесия трубы

N23 Рассчитать толстостенные трубы. Постановка задачи. Вывод дифференциального уравнения равновесия толстостенных труб.

Рассчитывать напряженное состояние толстостенного цилиндра по уравнению Пикаса налью по зонам притяжки:

1) Надо пренебречь неравномерным распределением касательного напряжения  $G_t$  по высоте стены толстостенного цилиндра

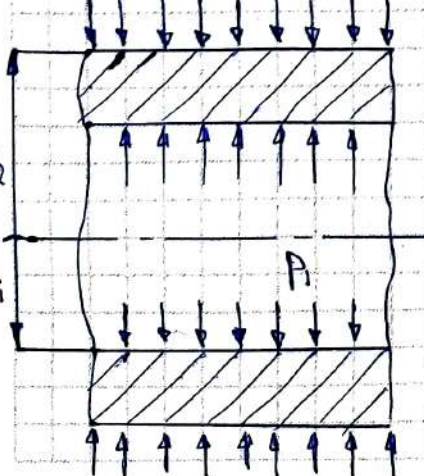
2). Сигмовое  $G_s$  и радиальное  $G_r$  напряжения в толстостенном цилиндре это величины одного порядка, одна из которых должна быть учтена в расчетных формулах

Рассмотрим толстостенную трубу, нагруженную внешним и внутренним давлением

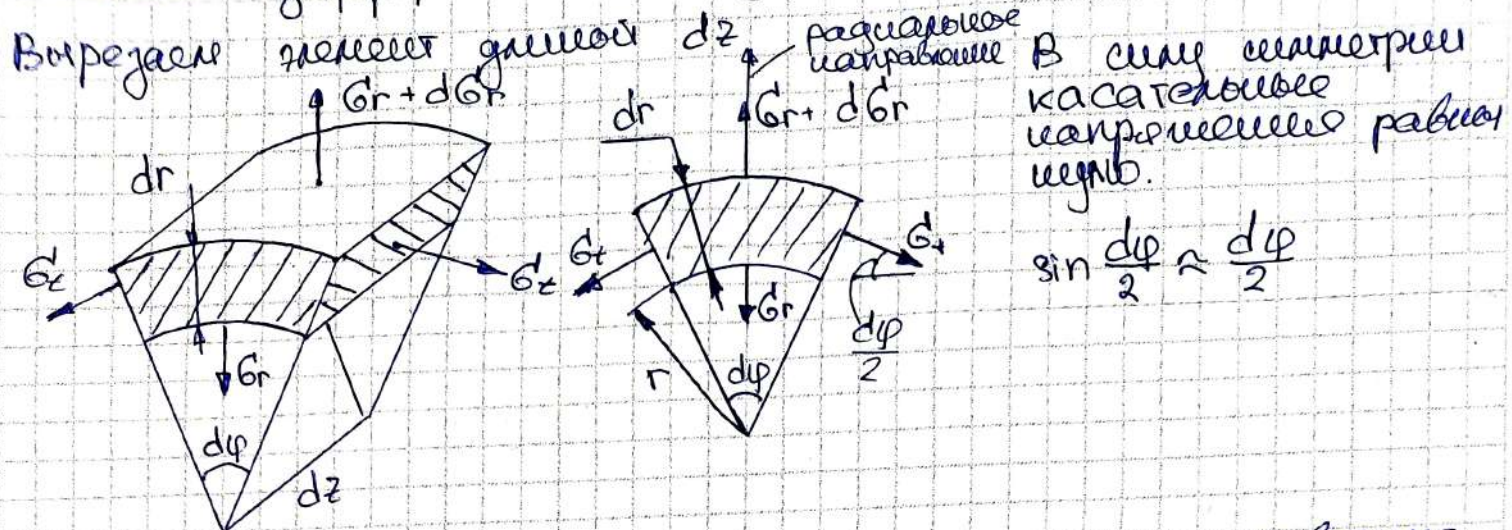
$r_1$  - внутренний радиус  
 $r_2$  - внешний радиус

Сигмовое напряжение: труба бесконечная, а ось  $z$  вдоль трубы  $\Rightarrow G_z = \text{const}$

Труба бесконечная  $\Rightarrow G_z = 0$  либо определяется из уравнения равновесия, если труба конечной длины.



Записем дифференциальное уравнение равновесия



$$\sin \frac{d\phi}{2} \approx \frac{d\phi}{2}$$

Запишем пренебрежа вех схем на равновесное напряжение:

$$-Gr \cdot r d\phi dz - 2Gt dr dz \frac{d\phi}{2} + (Gr + dGr)(r + dr) d\phi = 0$$

$$-Gr \cdot r - Gt dr + Gr \cdot r + Gr dr + dGr \cdot r + dGr dr = 0$$

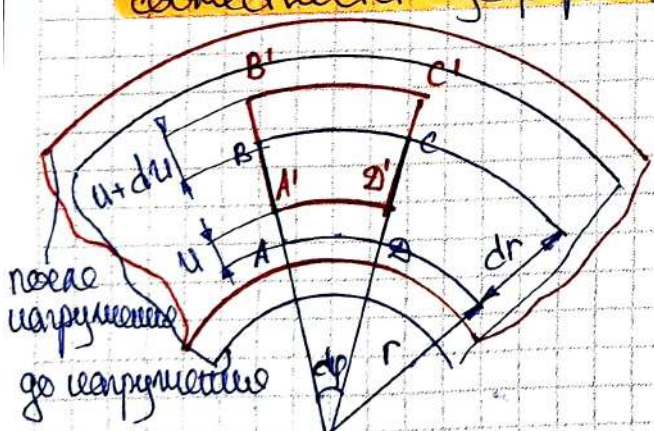
$$-Gt dr + Gr dr + dGr \cdot r = 0$$

$$r \cdot \frac{dGr}{dr} + Gr - Gt = 0$$

$$\frac{d}{dr} (r \cdot Gr) - Gt = 0 \quad | \quad \text{уравнение равновесия}$$

Условие совместности деформации

№24. Рассчит толстостенных труб. Постановка задачи. Условие совместности деформации.



деформации элемента в рабочем состоянии:

$$\epsilon_r = \frac{A'B' - AB}{AB} = \frac{(dr + u + du - u) - dr}{dr} = \frac{du}{dr}$$

деформации элемента в окружении напряжения:

$$\epsilon_t = \frac{A'D' - AD}{AD} = \frac{(r + u) d\phi - d\phi \cdot r}{d\phi \cdot r} = \frac{u}{r}$$

$$u = \epsilon_t \cdot r \quad | \quad \frac{du}{dr} = \frac{d}{dr} (\epsilon_t \cdot r) \quad | \quad \Rightarrow \frac{d}{dr} (\epsilon_t \cdot r) - \epsilon_r = 0 \quad | \quad \text{уравнение совместности деформации}$$

$$\epsilon_r = \frac{du}{dr} \quad | \quad \epsilon_r = \frac{du}{dr}$$

Вывод формул Ломе Ламе Леме и определение констант интегрирования  
НЕ БЫЛО ВООБЩЕ БРЕД

№25. Рассчит толстостенных труб. Вывод формулы Ломе и определение констант интегрирования. Перемещения

## Особенности уравнений:

$$\begin{cases} \frac{d}{dr}(r \cdot G_r) - G_t = 0 \\ \frac{d}{dr}(G_t \cdot r) - G_r = 0 \end{cases}$$

Две непротиворечивые  
дифференциальные зависимости  
для констант линка:

$$G_r = \frac{1}{E} (G_t - \nu G_t) \quad \text{и} \quad G_t = \frac{1}{E} (G_r - \nu G_r)$$

$$\begin{cases} \frac{d}{dr}(r \cdot G_r) - G_t = 0 \end{cases}$$

Первые два уравнения (1)-(2)

$$\begin{cases} \frac{d}{dr}(r \cdot G_r) - G_t = 0 \\ \frac{d}{dr}\left(\frac{r}{E}(G_t - \nu G_r)\right) - \frac{1}{E}(G_r - \nu G_r) = 0 \end{cases}$$

(1)+(2):

$$\begin{cases} \frac{d}{dr}(r \cdot G_r) - G_t = 0 \end{cases}$$

$$\frac{d}{dr}(r G_r) - G_t + \frac{d}{dr}(r G_t) - G_r = 0$$

$$\begin{cases} \frac{d}{dr}(r(G_t - \nu G_r)) - (G_r - \nu G_t) = 0 \end{cases}$$

$$\frac{d}{dr}(r(G_t + G_r)) = 0$$

$$\begin{cases} \frac{d}{dr}(r \cdot G_r) - G_t = 0 \end{cases}$$

$$G_t + G_r = 2A = \text{const}$$

$$\begin{cases} \frac{d}{dr}(G_t \cdot r) - \nu \frac{d}{dr}(G_r \cdot r) - (G_r - \nu G_t) = 0 \end{cases}$$

$$(1)-(2): \quad \frac{d}{dr}(r G_r) - G_t - \frac{d}{dr}(r G_t) + G_r = 0$$

$$\begin{cases} \frac{d}{dr}(r \cdot G_r) - G_t = 0 \end{cases}$$

$$\frac{d}{dr}(r(G_t - G_r)) = 0$$

$$\begin{cases} \frac{d}{dr}(r \cdot G_t) - \nu G_r - G_r + \nu G_t = 0 \end{cases}$$

$$G_t - G_r = \frac{2B}{r^2} = \text{const}$$

$$\begin{cases} \frac{d}{dr}(r \cdot G_t) - G_t = 0 \end{cases} \quad (1)$$

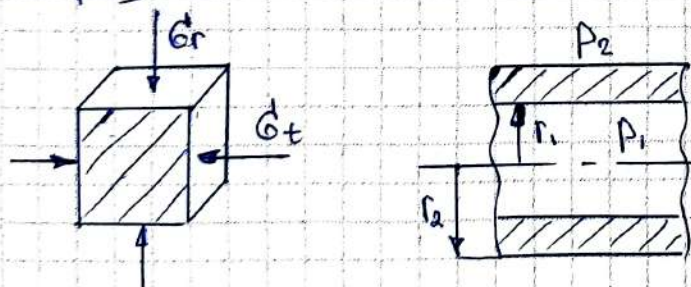
$$\begin{cases} \frac{d}{dr}(r \cdot G_t) - G_r = 0 \end{cases} \quad (2)$$

Первые две константы:

$$\begin{cases} G_t - G_r = \frac{2B}{r^2} \\ G_t + G_r = 2A \end{cases} \Rightarrow G_r = A - \frac{B}{r^2}$$

A, B - определенные  
из начальных  
условий.

## Определение констант интегрирования

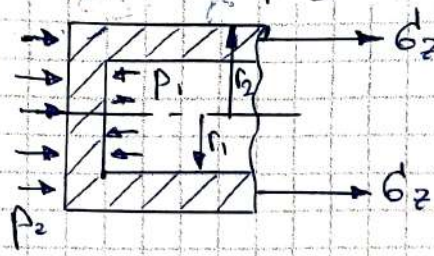


$$G_r = A - \frac{B}{r^2}$$

$$\begin{cases} \text{при } r = r_1: & G_r = -P_1; \\ \text{при } r = r_2: & G_r = -P_2; \end{cases}$$

$$\begin{cases} A - \frac{B}{r_1^2} = -P_1 \\ A - \frac{B}{r_2^2} = -P_2 \end{cases} \Rightarrow \begin{cases} A = \frac{P_1 r_1^2 - P_2 r_2^2}{r_2^2 - r_1^2} \\ B = \frac{(P_1 - P_2) r_1 r_2}{r_2^2 - r_1^2} \end{cases}$$

Если труба имеет дно, то возникает осевое напряжение  $\sigma_z$ .  $\sigma_z$  определяется из условия равновесия:



$$\sum z_i = 0: \sigma_z \pi (r_2^2 - r_1^2) = P_1 \pi r_1^2 - P_2 \pi r_2^2$$

$$\sigma_z = \frac{P_1 r_1^2 - P_2 r_2^2}{r_2^2 - r_1^2}$$

### Перенесение

$$\sigma_t = \frac{u}{r} \Rightarrow u = \sigma_t \cdot r \Rightarrow u = \frac{1}{E} (\sigma_z - \nu \sigma_r)$$

обобщенный закон Гука

Используем формулы  $\sigma_r$  и  $\sigma_t$ , получим:

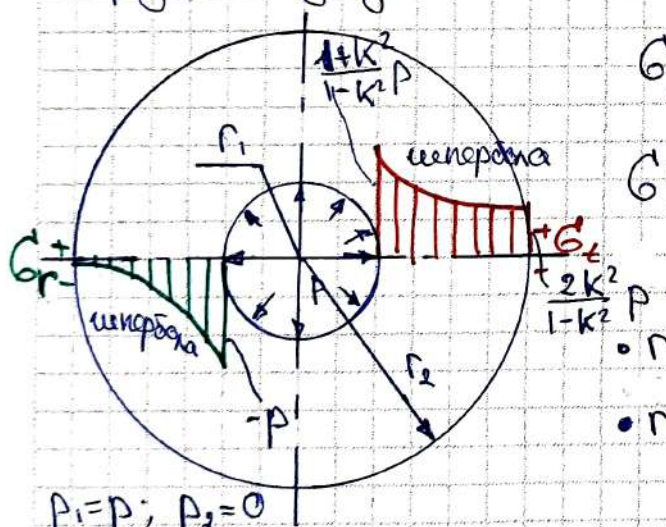
$$u = \frac{1}{E} \left( A - \frac{B}{r^2} + \nu \left( A - \frac{B}{r^2} \right) \right) \Rightarrow u = \frac{1-\nu}{E} A r + \frac{1+\nu}{E} \frac{B}{r}$$

### Задача Ламе. Частные случаи

Задача Ламе. Распределение окружных и радиальных напряжений в толстостенной трубе, нагруженной внутренним давлением

#### 126. Задача Ламе. Частные случаи

• Труба под действием внутреннего давления: НАДО



$$\sigma_r = -\frac{P r_1^2}{r_2^2 - r_1^2} + \frac{P \cdot r_1^2 r_2^2}{(r_2^2 - r_1^2) r^2}; \quad K = \frac{r_1}{r_2}$$

$$\sigma_t = \frac{P K^2}{1-K^2} = \frac{P \cdot r_1^2}{1-K^2} \cdot \frac{1}{r^2}$$

$$\bullet r = r_1: \sigma_r = -P; \quad \sigma_z = \frac{1+K^2}{1-K^2} P$$

$$\bullet r = r_2: \sigma_r = 0; \quad \sigma_z = \frac{2K^2}{1-K^2} P$$

$$P_1 = P; \quad P_2 = 0$$

Наиболее опасное действие тока на внешнюю поверхность. Покажем, что увеличение толщины приводит к повышению давления. Для этого воспользуемся теорией Треска-Сен-Венана:

$$\sigma_{\text{акв}} = \sigma_z - \sigma_r = \sigma_z - \sigma_r = \frac{P(1+K^2)}{1-K^2} + P = \frac{2P}{1-K^2}$$

$$\sigma_{\text{акв}} = \frac{\sigma_z}{[n]} \Rightarrow [P] = \frac{\sigma_z}{[n]} \cdot \frac{1-K^2}{2} \Rightarrow \text{Увеличение радиусов (толщины) приводит к повышению давления.}$$

НЕ НАДО

- Плита с отверстием испытывающая внешнее давление

Точки плиты с отверстием предрасположены к местному сдвигу:

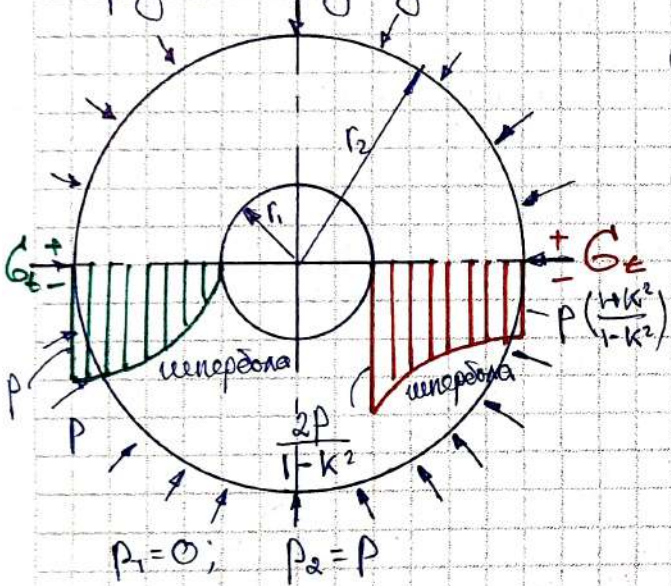


Наиболее опасной является точка на внешней поверхности.

$$r_2 \rightarrow \infty : k=0$$

Задача Ламе. Распределение окружных и радиальных напряжений в толстостенной трубе, нагруженной внутренним давлением

- Труба под действием внешнего давления НАДО



$$G_r = \frac{-P r_2^2}{r_2^2 - r_1^2} = \frac{(-P) \cdot r_1^2 r_2^2}{r_2^2 - r_1^2} \cdot \frac{1}{r_2^2} ; k = \frac{r_1}{r_2}$$

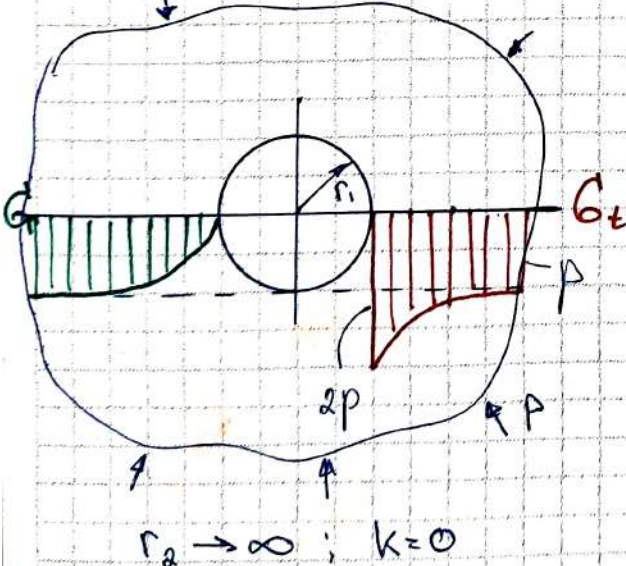
$$G_t = -\frac{P}{1 - k^2} = \frac{(-P) r_1^2}{1 - k^2} \cdot \frac{1}{r_2^2}$$

$$\begin{aligned} & \bullet r = r_1 : G_r = 0; G_t = \frac{-2P}{1 - k^2} \\ & \bullet r = r_2 : G_r = -P; G_t = \frac{-P(1 + k^2)}{1 - k^2} \end{aligned}$$

- Плита с отверстием испытывающая внешнее давление

НЕ НАДО

Нагружение симметрическое (отверстие) приводит к скачку напряжения. Отверстие является концентратором напряжений

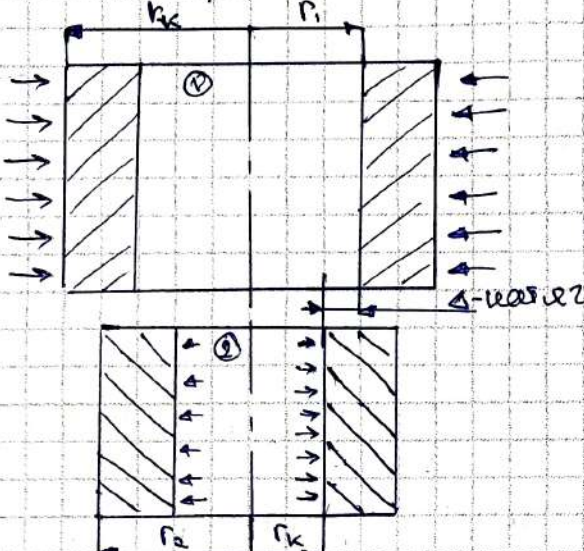


## N27. Составные трубы

### Составные трубы

НЕ БЫЛО

- запрессовываем одну трубу в другую  $\Rightarrow$  появляющееся контактное напряжение  $\sigma_K$ . Когда подается рабочее давление, оно будет распределено равномерно окружением. Напряжение по продольным сечениям, тем самым уменьшает опасное напряжение.



$$\text{Найдем: } \Delta = U_2 - U_1$$

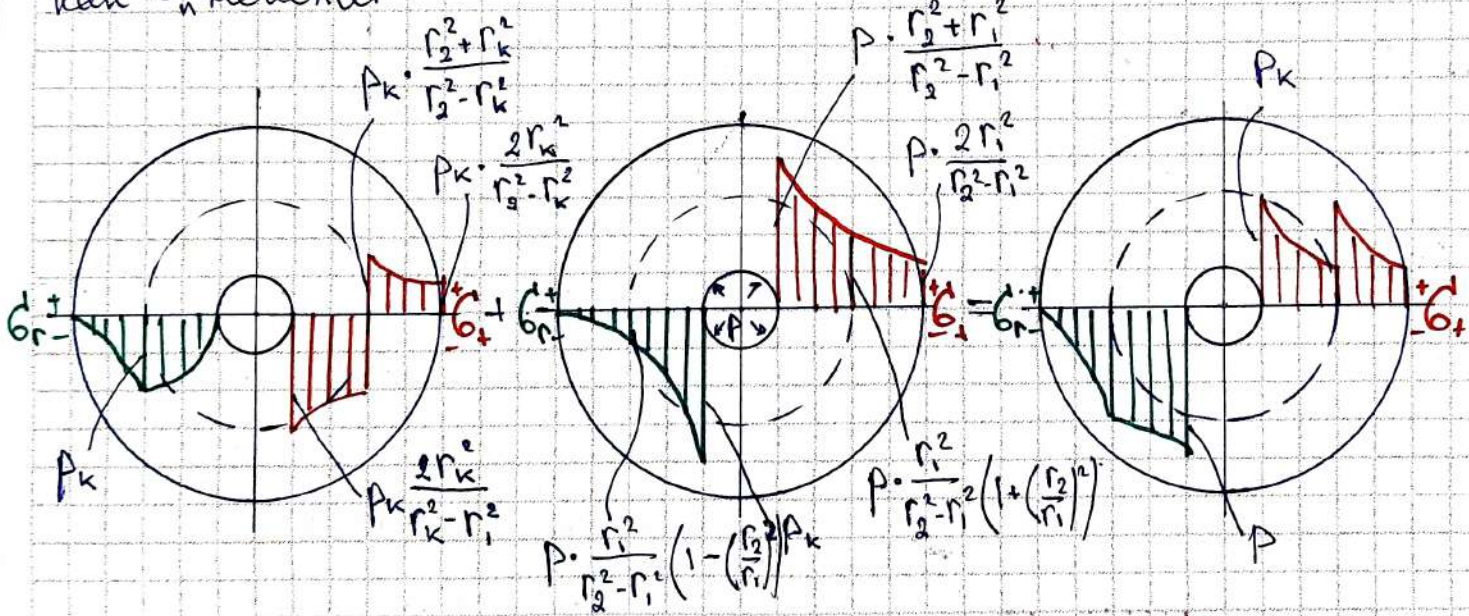
$$\textcircled{1} \quad U_1 = \frac{1-j}{E} r_K \cdot \left( \frac{-P_K r_K^2}{r_K^2 - r_i^2} \right) + \frac{1+j}{E} \cdot \frac{1}{r_K} \left( \frac{-P_K r_i^2 r_K^2}{r_K^2 - r_i^2} \right)$$

$$\textcircled{2} \quad U_2 = \frac{1-j}{E} r_K \cdot \frac{P_K r_K^2}{r_K^2 - r_i^2} + \frac{1+j}{E} \cdot \frac{1}{r_K} \left( \frac{P_K r_K^2 \cdot r_i^2}{r_i^2 - r_K^2} \right)$$

Погрешение в выражение для  $\Delta$  и погрешай:

$$P_K = \frac{\Delta E}{2 r_K^2} \cdot \frac{(r_2^2 - r_K^2)(r_K^2 - r_1^2)}{(r_2^2 - r_1^2)}$$

Найдем контактное давление, рассмотрим задачу как "момент"  $\Delta$



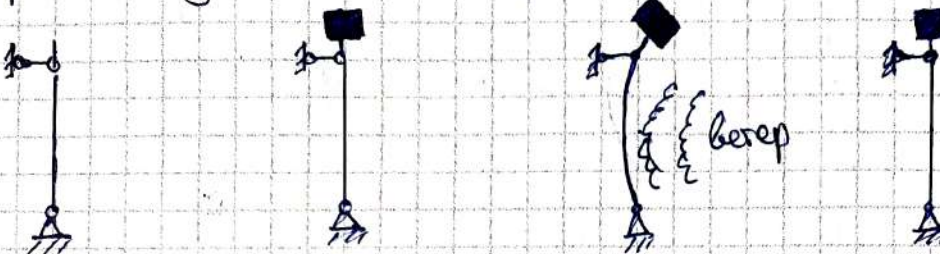
В результате сжатия этих контактных сжимающихся распределение контактного давления на внешней поверхности  $\Rightarrow$  сжатие внешнего напряжения  $\Rightarrow$  новое сжатие прогодится (Автоматическое - обжатие)

Устойчивость продольно сжатых стержней. Бифуркация форм равновесия. Критическая сила

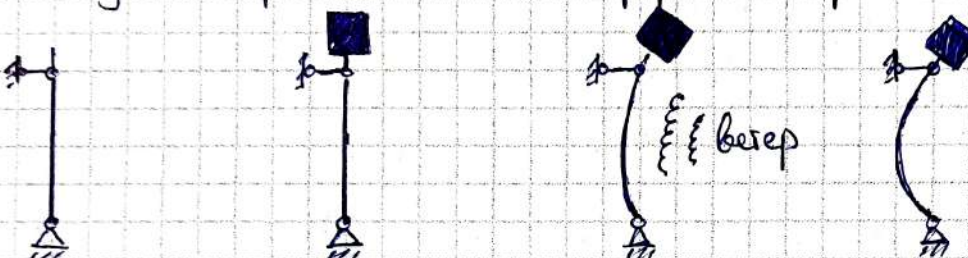
примеры потери устойчивости

N28. Устойчивость продольно сжатых стержней. Определение статических поясов: устойчивость, бифуркации форм равновесия, критическая сила.

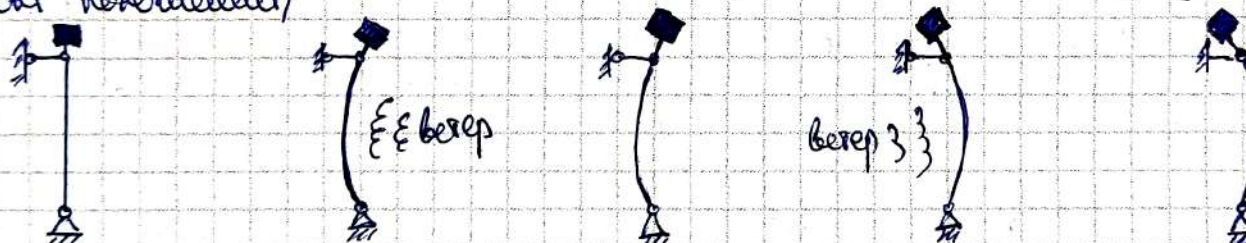
Стрекоза, оставаясь идеальной, удерживается на седе недовольной груди. Если бесконечное малое винчестер бордюр ставит это и истекает, стрекоза сидит вертикально на седе превращающемся вороту. В этом случае превращающая форма стрекозы устойчива 



Боковой груди стрекоза удерживает только боковые превращающиеся малые малые отклонение приводят к нарастающим промежуткам. В этом случае превращающая форма стрекозы неустойчива 



Ниже устойчивым и неустойчивым состояниям соответствует такое состояние безразличного равновесия : при этом подобрать такие сидячи, что при малом отклонении стрекоза не вернется в превращающее состояние, но если ее будет наращивать эти промежутки самоподдержанием. (например, зажать в этом положении)



Продолжая нагрузку, приводящую стрекозу в состояние безразличного равновесия, наступает преломление.

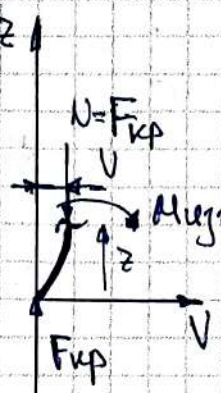
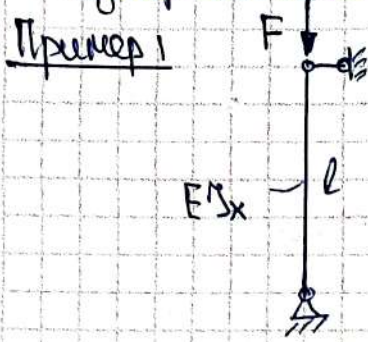
Потеря устойчивости - это не процесс быстрого разлета больших промежутков, а потери стрекозой способности возвращаться на седе исходную форму после бесконечного малого отклонения винчестера бордюра.

Бифуркации формы равновесия - явление, при котором одно и то же равновесие соответствует нескольким равновесным формам

Устойчивое дуплексение

- 1) Стрекоза идеально прямая;
- 2) Стена приводится строго по центру сидения;
- 3) Несимметричный стрекоза - однородный.

N29. Вывод формулы определяющей критическую силу для шарнирно закрепленного стержня



Координаты выделяем  
так, чтобы  
-  $F_kp V$

$M_{kpl} \approx EJx V''$

Разбиваем стержень на участки и записываем условие равновесия:

$$-M_{kpl} - F_kp V = 0$$

$$EJ_{min} V'' + F_kp V = 0$$

$$V'' + \frac{F_kp}{EJ_{min}} V = 0$$

$$K^2 = \frac{F_kp}{EJ_{min}} \Rightarrow V'' + KV = 0 \Rightarrow V = C_1 \cos Kz + C_2 \sin Kz$$

Вывод формулы определения критической силы для шарнирно закрепленного стержня

Коэффициенты  $C_1$  и  $C_2$  определяем из граничных условий:

$$1) z=0: V=0 \Rightarrow C_1 \cdot 1 + C_2 \cdot 0 = 0 \Rightarrow C_1 = 0$$

$$2) z=l: V=0 \Rightarrow C_2 \cdot \sin(Kl) = 0 \Rightarrow Kl = \pi n, \text{ где } n=1, 2, 3$$

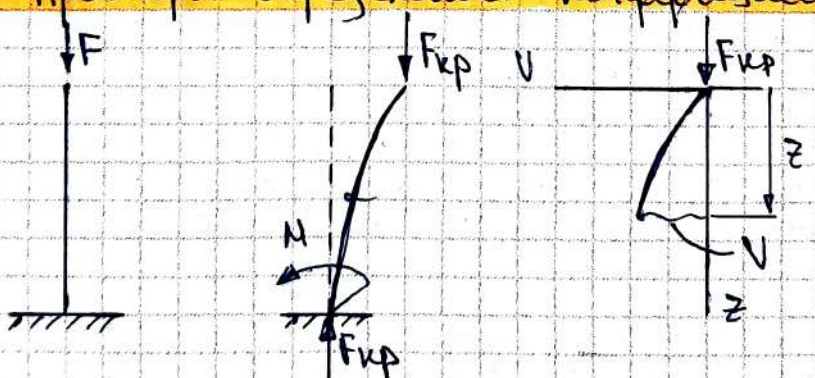
$$K = \frac{\pi n}{l} \Rightarrow \sqrt{\frac{F_kp}{EJ_{min}}} = \frac{\pi n}{l} \Rightarrow F_kp = \frac{\pi^2 n^2 EJ_{min}}{l^2} \quad | \text{ формула Айлера}$$

Обычно рассматривают первую формулу потеря устойчивости ( $n=1$ ).

Устойчивость сжатых стержней. Коэффициент приведения длины

N30. Устойчивость сжатых стержней. Коэффициент приведение длины. Примеры определение коэффициента приведение длины.

Пример 2



Разбиваем стержень на участки и записываем условие равновесия:

$$EJ_{min} V'' = -F_kp V \Rightarrow EJ_{min} V'' + F_kp V = 0 \Rightarrow V'' + \frac{F_kp}{EJ_{min}} V = 0$$

$$K^2 = \frac{F_kp}{EJ_{min}} \Rightarrow V'' + KV = 0 \Rightarrow V = C_1 \cos Kz + C_2 \sin Kz$$

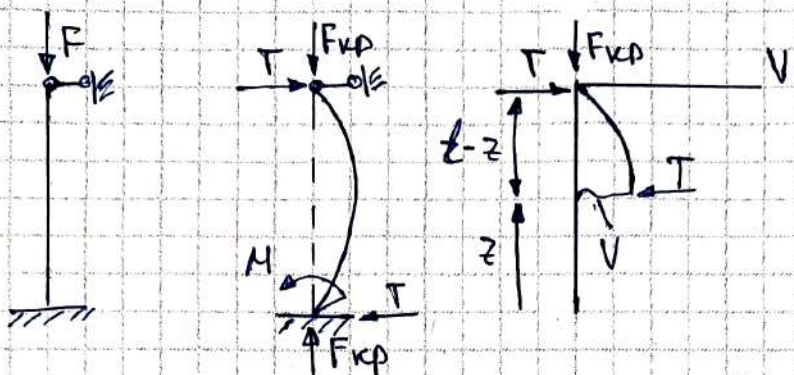
Коэффициенты  $C_1$  и  $C_2$  определяем из граничных условий:

$$1) z=0: V=0 \Rightarrow C_1 \cdot 0 + C_2 \cdot 1 = 0 \Rightarrow C_2 = 0$$

$$2) z=l: V'=0 \Rightarrow C_1 K \cos kl - C_2 K \sin kl = 0 \Rightarrow \cos kl = 0 \quad (C_1 \neq 0, C_2 = 0, k \neq 0)$$

$$kl = \frac{\pi}{2} n \Rightarrow K = \frac{\pi n}{2l} \Rightarrow \sqrt{\frac{F_{kp}}{E J_{min}}} = \frac{\pi n}{2l} \Rightarrow F_{kp} = \frac{\pi^2 n^2 E J_{min}}{(2l)^2}$$

Пример 3



Рассматриваем стержень на участке и записываем условия равновесия:

$$E J_{min} V'' = -F_{kp} V + T(l-z)$$

$$V'' + \frac{F_{kp}}{E J_{min}} V = \frac{F_{kp}}{E J_{min}} \cdot \frac{T(l-z)}{F_{kp}}; \quad k^2 = \frac{F_{kp}}{E J_{min}} \Rightarrow V'' + k^2 V = K^2 \cdot \frac{T(l-z)}{F_{kp}}$$

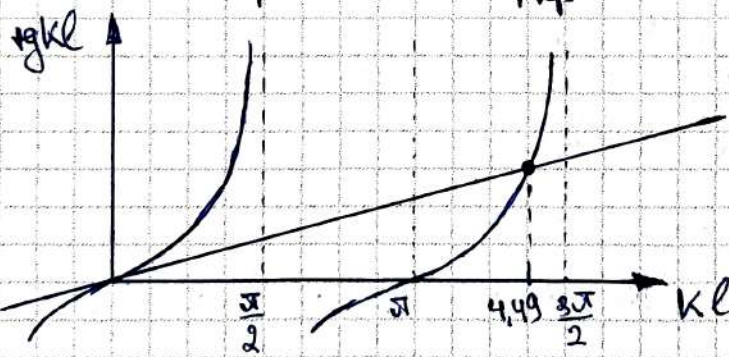
$$V = C_1 \sin kz + C_2 \cos kz + \frac{T}{F_{kp}} (l-z)$$

Получаем 3 неизвестных, решим 3 равновесия условия:

$$1) z=0: V=0 \Rightarrow C_1 \cdot 0 + C_2 \cdot 1 + \frac{T}{F_{kp}} \cdot l = 0 \Rightarrow C_2 = -\frac{TL}{F_{kp}}$$

$$2) z=0: V'=0 \Rightarrow C_1 K \cdot 1 - C_2 K \cdot 0 + \frac{T}{F_{kp}} = 0 \Rightarrow C_1 = \frac{T}{F_{kp} \cdot k}$$

$$3) z=l: V=0 \Rightarrow \frac{T}{F_{kp} \cdot k} \sin kl - \frac{TL}{F_{kp}} \cos kl = 0 \Rightarrow \operatorname{tg} kl = kl$$



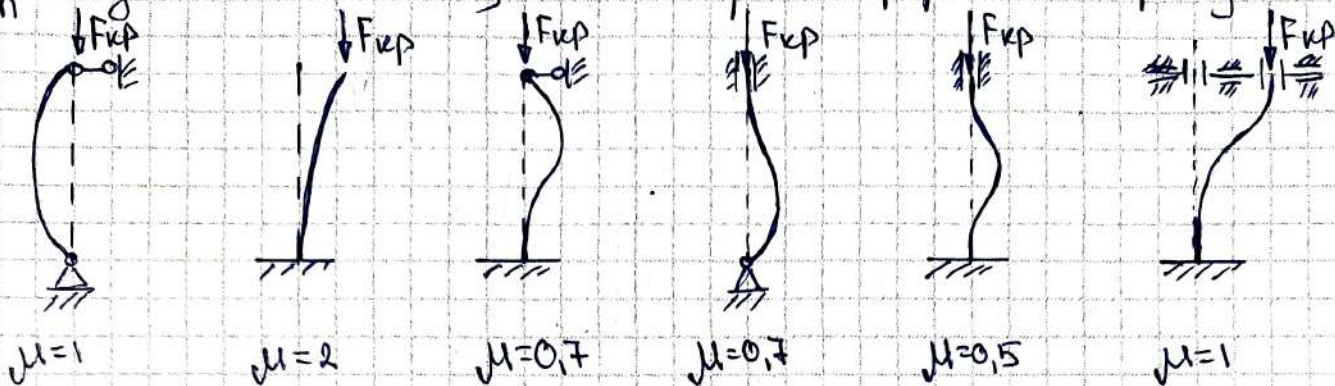
$$kl = 4.49 \Rightarrow k = \frac{4.49}{l} \Rightarrow \sqrt{\frac{F_{kp}}{E J_{min}}} = \frac{4.49}{l} \Rightarrow F_{kp} = \frac{4.49^2 E J_{min}}{l} \Rightarrow F_{kp} = \frac{\pi^2 E J_{min}}{(0.7l)^2}$$

Продолжение примера 1-3:

Но получение симметричной структуры для ферамента  $F_{kp}$  для разных стоеч расчеты показывают, что кривые симметричны, но модуль стойки выравнивается фераментом:

$$F_{kp} = \frac{\pi^2 E J_{min}}{(\mu l)^2} >$$

19e  $M$  - коэффициент приведения длины - показывает во сколько раз нужно умножить длину стойки чтобы, чтобы  $F_{kp}$  была равна заданной для данной стойки. Другими интерпретациями:  $M = \frac{1}{n}$  - 19e  $n$  раза подняли в первом разе ноги чтобы устойчивость.



Вывод формулы вычисления критической нагрузки энергетическим методом

устойчивость сжатых стержней

N31. Устойчивость сжатых стержней. Вывод формулы вычисления критической нагрузки энергетическим методом

Энергетический метод основан на принципе最小作用 principle. При  $F = F_{kp}$  переход стойки из прямолинейного состояния в криволинейное расматривается, как бесконечное малое балансическое перемещение в рамках одного и того же состояния брускового равновесия. При этом работа критической силы в конечности должна быть равна работе внешнеших сил. А работа всегда должна быть равна работе критической силы.

$$U = \int_0^l M_{kz} dz \quad (1)$$

$$M_{kz} = E I_{min} V^u \quad (2)$$

$$(1) : F = F_{kp}$$

$$(2) : U = U$$

$$(3) : U = F \cdot S$$

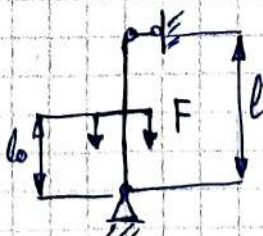
$$dS = \frac{1}{2} \theta^2 dz \quad \theta_{\text{max}} \Rightarrow \sin \theta \approx \theta$$

$$dS = dz - dz \cos \theta = dz (1 - \cos \theta) = dz \cdot 2 \sin^2 \frac{\theta}{2} = dz \cdot 2 \cdot \left(\frac{\theta}{2}\right)^2 = \frac{1}{2} \theta^2 dz$$

$$dS = \frac{1}{2} \theta^2 dz \Rightarrow S = \int_0^l \frac{1}{2} (V')^2 dz$$

$$F_{kp} = \frac{U}{S} \Rightarrow F_{kp} = \frac{\int_0^l (V')^2 E I_{min} dz}{\int_0^l (V')^2 dz}$$

19e  $l$  - длина стойки  
 $\omega$  - длина участка стойки, имеющего сдвиг



Чем также мы поднимем горизонт примыка, тем также поднимем нагрузку kp. Результатом поднимем какую-нибудь коэффициент коэффициент - коэффициент.

Способов задания пропуска:

- 1) С помощью гиперболометрической функции
- 2) С помощью непрерывного шнеда
- 3) С помощью полинома вида степеней:

$$V = a_0 + a_1 z + a_2 z^2 + \dots + a_n z^n$$

задача Эйлера гугли дружок

Степень полинома определяется из граничных условий

граничные условия  $\rightarrow$  неизвестные (условия задания)

$\rightarrow$  сколько

Эйлера. Определения значения стружки. График зависимости критических напряжений от гибкости

задача Эйлера

№2 Пределы применения формулы Эйлера. Определение границы между коротким и длинным стружками. График зависимости критического напряжения от гибкости

Сила, вывешивающая длинный стружки в согнутом члене тела с равномерным, относительным изгибом, подчиняется сигмой баланса сил на стружке между пружиной и членом тела с одинаковыми вынуждающим напряжениями.

При приведении короткого стружки в согнутом безразмерного равномерном, требуется баланса продольной силы. Сила может быть настолько большой что сдвигом материала стружки может выйти за пределы членов тела.

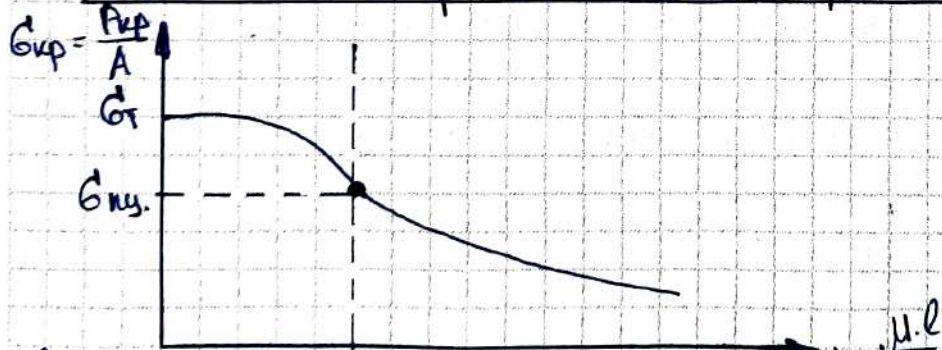
Для того чтобы отложить длинные и короткие стружки вводят понятие модуля:

$$\lambda = \frac{\mu \cdot l}{i}, \text{ где}$$

$$i = \sqrt{\frac{I_x}{A}}$$

- $\lambda$  - модуль стружки (безразмерное величина)
- $\mu$  - коэффициент приведения длины (безразмерное)
- $l$  - длина стружки ( $m$ )
- $i$  - радиус изгиба непрерывного сечения ( $m$ )
- $I_x$  - момент инерции изгиба непрерывного сечения ( $m^4$ )
- $A$  - площадь непрерывного сечения ( $m^2$ )

Зависимость критического напряжения от модуля



Стружки с  $\lambda_{\text{пн}}$  делятся на две категории

$\lambda_{\text{пн}}$  - модуль стружки в которой материала уходит в бесконечность ( $\sigma = \sigma_{\text{кр}}$ ) проходит одновременно с выходом материала за пределы линейной упругости ( $\sigma_{\text{кр}} = \sigma_{\text{пн}}$ )

$$\sigma_{\text{кр}} = \frac{P_{\text{кр}}}{A} = \frac{\mu^2 E I_x}{(\mu l)^2 A} = \sigma_{\text{пн}}$$

$$\lambda_{\text{пн}} = \sqrt{\frac{E}{G_{\text{пн}}}}$$

$$\sigma_{\text{кр}} = G_{\text{пн}} - \left( G_{\text{пн}} - \sigma_{\text{пн}} \right) \left( \frac{\lambda}{\lambda_{\text{пн}}} \right)^2$$

$$P_{\text{кр}} = \sigma_{\text{кр}} A$$

нз3. Расчет на устойчивость по критерию изгибающим допускаемых напряжений.

$$[G]_{\text{доп}} = \varphi(\lambda) [G]_{\text{см}}$$

допускаемое напряжение при изгибе устойчивого

Расчет на устойчивость по коэффициенту

$\varphi(\lambda)$  - критерий напряжения допускаемых напряжений (получен через определение критической садки к допускаемым).

Проверочный расчет: заданы размеры сечения и задан  $\ell \Rightarrow$  определены

Проверочный расчет: задана садка  $\ell$  и заданы  $\varphi(\lambda)$   $\Rightarrow$  определены размеры сечения так, чтобы  $[G]_{\text{доп}}$  для него было неизменным или равна действующей на садке садке  $P$ .

Расчеты на прочность при циклических изменениях напряжений. Характеристики цикла. Кривая усталости и определение предела выносливости

НЕ БЫЛО

нз4. Расчет на прочность при циклических изменениях напряжений. Основное понятие об усталости материалов. Характеристики цикла. Кривая усталости и определение предела выносливости

Усталость - изменение неизменных изменяющихся при действии переменных нагрузок.

Усталостное разрушение - разрушение за счет накопленного разрушения.

Выносливость - способность материала противостоять усталости

Усталостные трещины возникают в местах изменения форм детали или изменении поверхности.

На сопротивление усталости влияет абсолютное разное непрерывное сечение, качество обработки поверхности, и действующее поверхное слое.

Механизм и особенности усталостного разрушения

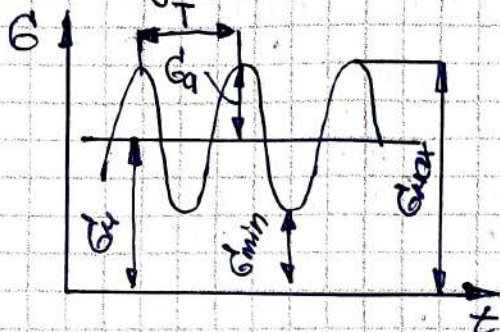
Конструкционные материалы имеют кристаллическую структуру. Кристаллы расположены хаотично. При деформировании в наиболее недвижимых ориентированных кристаллах может появляться пластические деформации, что ведет к новомуению линий скольжения, но новые скольжения числа циклов, когда линии скольжения уединяются сливаясь они образуют полосы скольжения, где и появляются микротекущие трещины.

Образование трещин занимает 30% времени; рост усталостного разрушения ~ 60% времени;

разрушение ~ 10-20% времени.

Напряжение при котором разрушается образец при перемещении во времени изгружающих сил при статическом изгибе

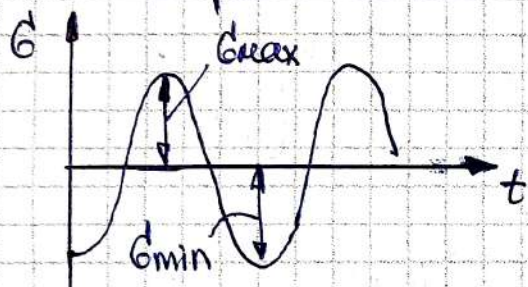
### Типы циклов



- период  $T$  - время между 2 соседними пологими изгибами
- $G_M = \frac{G_{max} + G_{min}}{2}$  - среднее напряжение цикла
- $G_A = \frac{G_{max} - G_{min}}{2}$  - амплитуда цикла
- $R = \frac{G_{min}}{G_{max}}$  - коэффициент асимметрии цикла

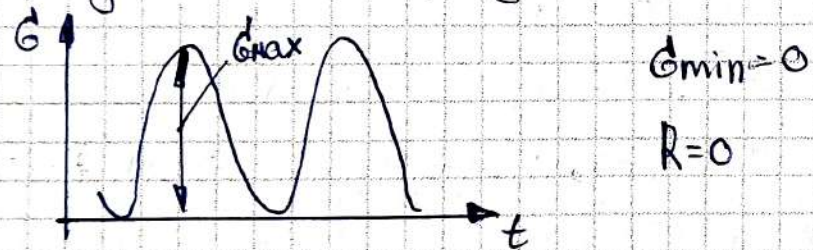
Цикл - совершающееся напряжение за период их изменения.

#### 1) Симметрический цикл

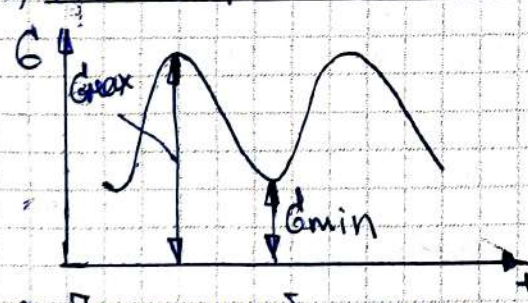


$$R = \frac{G_{min}}{G_{max}} = -1$$

#### 2) Пульсацийный (отрывистый) цикл



#### 3) Асимметрический цикл

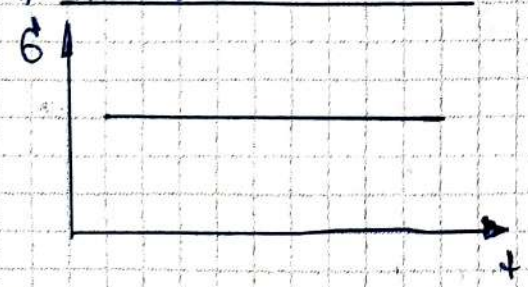


$$R \neq -1$$

$$R \neq 0$$

$$R = \frac{G_{min}}{G_{max}}$$

#### 4) Постоянный цикл



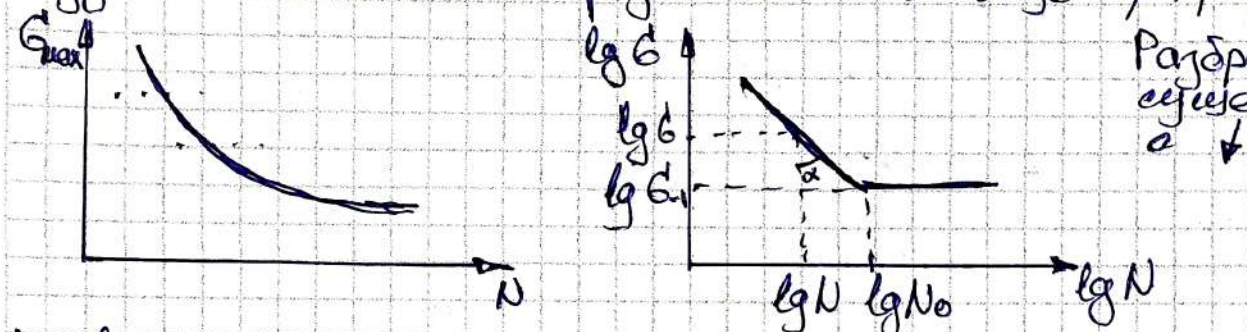
Цикл с одинаковой коэффициентом асимметрии изгибающей нагрузки.

## Кривые усталости и предел выносливости

Несколько максимумов числа и числом циклов до разрушения определяет зависимость определяемой кривой усталости. Продолжает испытание на образцах до нагрузки 7.5 кН. Испытание проводят при различных асимметричных циклах, наиболее распространено при симметрическом. Испытания проводят от 0,7 бар. По статике усталости ведут сколько циклов на каждую нагрузку. Каждый цикл испытывается от 10 до 50 образцов. Далее циклическое уменьшается до тех пор пока образец не выдерживает 10<sup>7</sup> циклов.

10<sup>7</sup> циклов - число циклов, на которое испытание даёт усталостные параметры и сдвигов превышают  $5 \cdot 10^4 \div 10^5$ .

Результаты испытаний представляются в виде графиков.



Раздробное давление  
составляет  
 $G_1$

Кривые, полученные по чередующимся данным, можно вести кривые усталости или пределы выносливости.

Имеется первое значение  $G_R$ , что при  $|G_{\text{max}}| < G_R, N \rightarrow \infty$ .

Повторные испытания ведут не до  $\infty$ , а лишь до баров, то пределы выносливости выражаются как раздражение разрушения максимумов цикла при котором образец содержит разрушение баровое число циклов с наименьшим разрушением разрушения.

Предел выносливости обозначается  $G_R$ , это  $R$ -коэффициент асимметрии.

- $R = -1$   $G_{-1}$  - при симметричном цикле
- $R = 0$   $G_0$  - при несимметричном цикле.

В логарифмических координатах левая ветвь представляется следующим:

$$\operatorname{tg} \alpha = \frac{\lg N_0 - \lg N}{\lg G - \lg G_{-1}} = M \quad \text{показатель кривой усталости}$$

$$\frac{\lg \frac{N_0}{N}}{\lg \frac{G}{G_{-1}}} = M \Rightarrow \frac{N_0}{N} = \left( \frac{G}{G_{-1}} \right)^M \Rightarrow \underbrace{N_0 G_{-1}^M = N G^M}_{\text{уравнение начальной ветви кривой усталости}} = \text{const}$$

$$N = N_0 \left( \frac{G_{-1}}{G} \right)^M \quad \begin{aligned} &\text{ограничение цикла} \\ &\text{циклов при } G > G_R \end{aligned}$$

Испытываемые изображают корреляционные зависимости между пределами прочности и другими характеристиками:

$$G_1 = (0,4 \div 0,5) G_{\text{kp}}$$

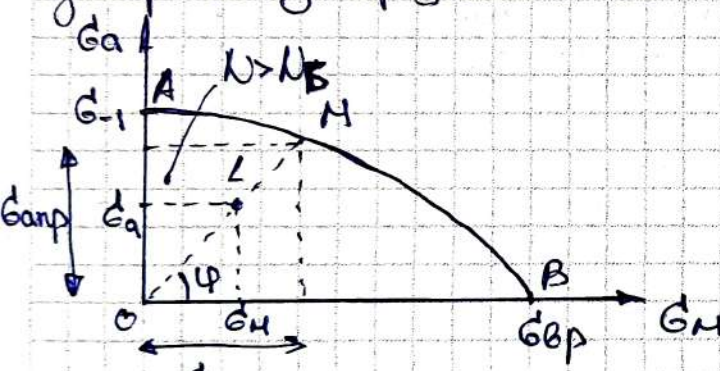
$$G_1 = 1,65 \text{ НВ} \quad (\text{НВ} - \text{твердость материала})$$

Предел прочности можно рассматривать только как характеристику материала т.к.  $G_{\text{kp}}$  является еще и от способа испытания. Например, при одноосном напрессовании состоящем расщепление краине, чем  $G_{\text{kp}}$ , полученные при сжатии

Усталостная прочность. Схематизация диаграммы предельных амплитуд

№5. Усталостная прочность. Схематизацию диаграммы предельных амплитуд.

При импульсах в деталях машин могут действовать различные напряжения с различной асимметрией цикла, поэтому необходимо располагать данными о сопротивлении материалов при действии внешних напряжений с различной асимметрией цикла. С этой целью строят диаграмму предельных амплитуд.



Точки лежащие на краю АМВ, соответствующих циклы при которых образец разрушается, выдержав большое число циклов.

Точки внутри обладают АМВ соответствующих числу циклов  $N$ :

Подобные циклы изображаются точками, лежащими на одинаком крае:

$$\operatorname{tg} \varphi = \frac{G_{\text{a}}}{G_{\text{m}}} = \frac{G_{\text{a}} - G_{\text{min}}}{2}$$

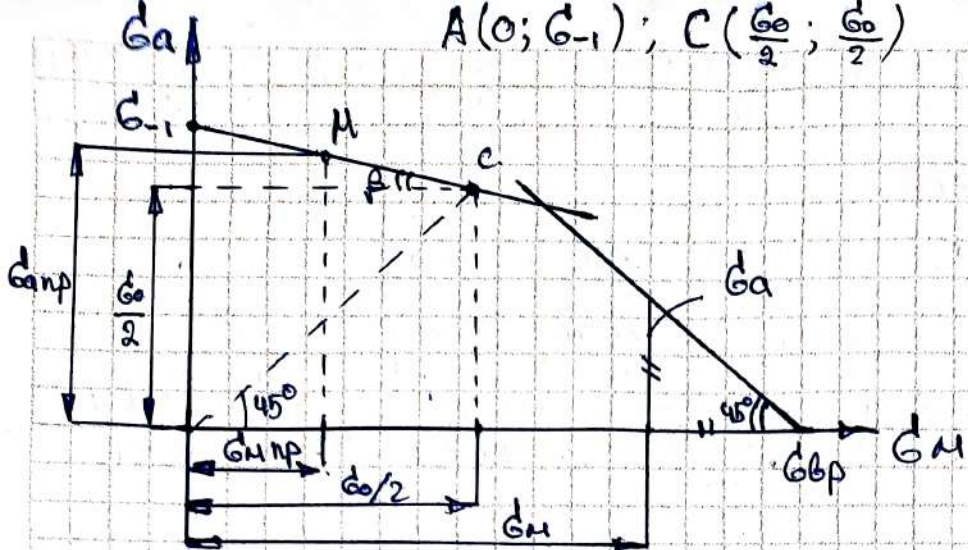
$$\frac{G_{\text{a}} - G_{\text{min}}}{G_{\text{a}} + G_{\text{min}}} = \frac{G_{\text{a}} - G_{\text{min}}}{G_{\text{a}} + G_{\text{min}}} = \frac{1 - R}{1 + R}$$

$N_B$  - характеризует запас по прочности:

$$N_B = \frac{G_{\text{m}}}{G_{\text{a}}} = \frac{G_{\text{m}} \cdot R}{G_{\text{a}}} = \frac{G_{\text{a}} - G_{\text{min}}}{G_{\text{a}}} = \frac{1 - R}{1 + R}$$

Построение диаграмм предельных амплитуд также весьма проблематично, потому что расчет проводят с использованием скомпенсированной диаграммы предельных амплитуд.

$$A(0; G_{-1}), C\left(\frac{G_0}{2}; \frac{G_0}{2}\right)$$



Правая бедра  
апроксимируется  
прямой, проведенной  
под углом  $45^\circ$ , для  
того чтобы:

$$G_M + G_A \leq G_{BP}$$

$$G_{\text{app}} = G_{-1} - t \alpha \beta \cdot G_{\text{M app}}$$

$$\operatorname{tg} \beta = \frac{G_1 - \frac{G_0}{2}}{\frac{G_0}{2}} = \frac{2G_1 - G_0}{G_0} = \varphi_G \quad | \text{ характеризует супервентиляцию}$$

надгребана к аспирационной щели

$$G_{\text{app}} = G_1 - \varphi_B \cdot G_{\text{app}}$$

для чиребинских скважин:  $\Psi_B = 0,2 \div 0,3$   
для кемеровских скважин  $\Psi_B = 0,1 \div 0,15$

Если бы было перемноженное кратчайшее, то получалось бы такое же. При этом все с неизвестной  $x$  в  $\Sigma$ , а кратчайшее оставалось

две членораздельные строки:  $\varphi_1 = 0,1 \div 0,15$   
две четырехраздельные строки:  $\varphi_2 = 0,05 \div 0,07$

## Влияние абсолютных размеров поперечных сечений на прочность

№36. Влияние абсолютных раздерев непрерывных сополимеров на  
чувствительность прогрессии

Испытывая чистое, то чистотой пронизать детали  
материи новые чистотой пронизать образа чистоты  
такие материалы

Синтетическое радиорадиоизотопное производство делает по сравнению с образцом образование;

- 1) Масштабный: влияние размеров поверхности, сечение на предел прочности
  - 2) Концентратор напряжений
  - 3) Качество обработки поверхности
  - 4) Инженерные материалы: частота нагружения, температура, коррозия.

При расчетах все факторы учитывается котрорые исключают  
влияние фактора:

$$K_{Gge} = \frac{G-1}{G-1_{ger}}$$

- $G-1$  - предел выносливости старагарного  
образца  $\phi 7,5 \text{мм}$
- $G-1_{ger}$  - предел выносливости где дефами

Уменьшение абсолютных размеров непрерывного состояния

Испытания показывают, что с увеличением размера непрерывного состояния сопротивление усталости уменьшается, уменьшение размеров исключительно, поскольку переход от одного состояния к другому не дает новой информации о характере распределения дефектов.

При этом с уменьшением абсолютной прочности при увеличении непрерывного состояния выходит:

1) Металлургический фактор:

При уменьшении размеров непрерывного состояния увеличивается количество дефектов вclusions, что ведет к ухудшению механических характеристик.

2) Технологический фактор:

При механической обработке деталей малых размеров, пластичное деформирование поверхности сало происходит на большую глубину, чем при обработке детали больших размеров. Воздействующий при пластичных деформациях контакт длительное время на сопротивление усталости повышает сопротивление сопротивление изгиба, сдерживающее трещины.

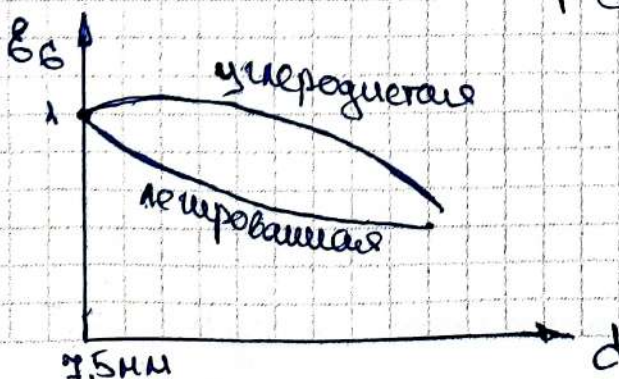
3) Статистический фактор:

При уменьшении размера непрерывного состояния ухудшиваются характеристики появления скрытых дефектов, что скаживается отрицательно на пределе усталости

Уменьшение размеров учитывается масштабным котрорущением:

$$E_G = \frac{G-1_d}{G-1}$$

- $G-1_d$  - предел выносливости данного образца диаметром  $d$
- $G-1$  - предел выносливости старагарного образца

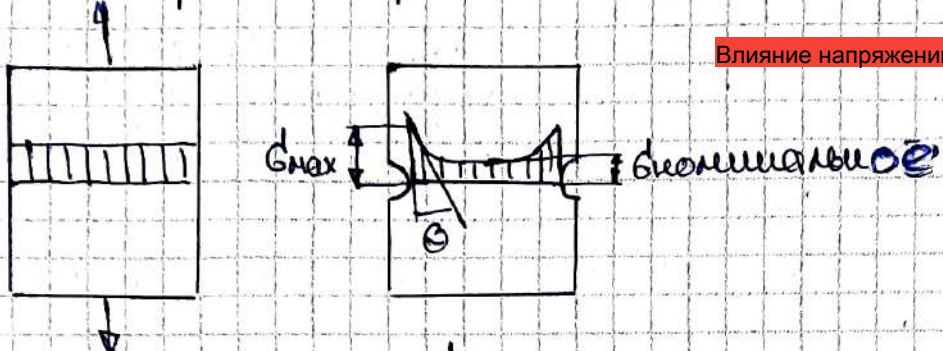


### N37. Влияние концентратора напряжений на усталостную прочность

Любое резкое изменение формы детали (проточки, канавки, отверстие) вызывает резкое увеличение местных напряжений

Причина возникающие местные напряжения - концентраторы напряжений

1) Концентратор напряжений при симметричных циклах



Влияние напряжений на усталостную прочность

Отношение  $\alpha_G = \frac{\sigma_{\max}}{\sigma_{\text{без}}}$  называется теоретическим коэффициентом.

$\sigma_{\max}$  определяется как произведение из фактора, предполагаю, что материал однородный, чистый. В действительности реальные материалы состоят как из металлов, так и пластиков. Поэтому при действии переменных нагрузок изначально в исходных недеформированных присталах возникает первоначальная деформация, что неизбежно влияет на  $G_R$ .

$$K_G = \frac{G_1}{G_{1\text{кон}}} \quad | \text{ теоретический коэффициент концентрации}$$

- $G_1$  - предел прочности сопротивления без концентратора
- $G_{1\text{кон}}$  - предел прочности с заданным типом концентратора.

Влияние концентратора напряжений зависит не только от величины  $\alpha_G$  в зоне концентрации, но и от скорости нагревания по мере удаления от зоны концентрации напряжений.

При быстром нагревании в зоне концентратора напряжений скапливается местное касательное трение, что способствует уменьшению сопротивления усталости.

$$Q = \frac{dG}{dx} \Big|_{x=0} = +g \theta \quad | \text{градиент (при } G \neq \text{ напряжение)}$$

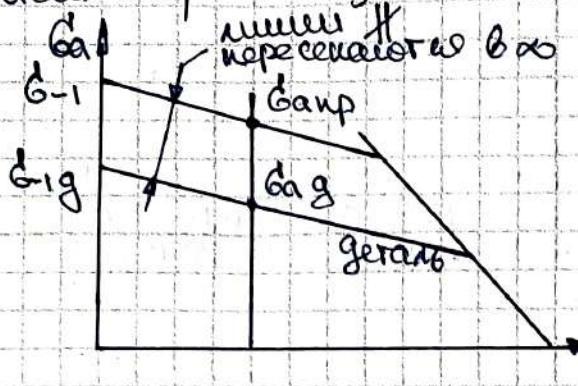
$$Q = \frac{1}{G_{\max}} \cdot \frac{dG}{dx} \Big|_{x=0} \quad | \text{относительный градиент}$$

Чем выше концентратор - тем лучше.

2) Влияние концентраторов напряжений при асимметричных циклах

Испериментальное установление, что отношение предельных

амплитуду машинных образцов и образцов с конусогранатором при одном и том же напряжении не зависит от асимметрии чекла.



- $G-1$  - для детали
- $G-1$  - для гладкого образца

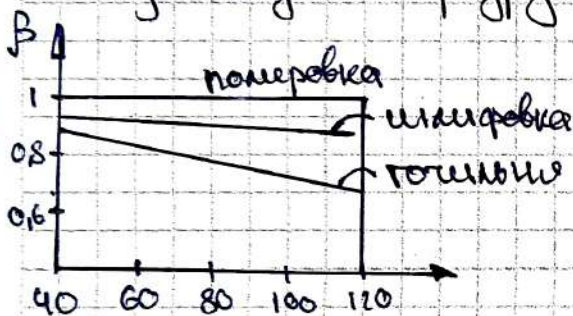
$$\frac{G-1}{G-1g} = \frac{G-1pr}{G-1g}$$

Влияние качества обработки и состояния поверхностного слоя

### N38. Влияние качества обработки и состояния поверхностного слоя

В большинстве случаев усталостные трещины зарождаются у поверхности. Это видно:

- 1) Поверхностный слой оказывает на действующем напряжении
- 2) При механической обработке детали в поверхностных слоях могут оказаться разрушающиеся зерна (или же конусогранаторы)



$$\beta = \frac{G-1}{G-1} = \frac{\text{1}^1}{\text{1}^1} - \frac{\text{заданной поверхности}}{\text{такую же поверхленную образец}}$$

Чем лучше обработка поверхности тем лучше сопротивляется усталости.

### Влияние состояния поверхностного слоя:

На поверхности находятся симеющиеся остаточные напряжения. Наибольшие остаточные напряжения наблюдаются у образцов, которые прошли химическую и механическую обработку (составка дрея, пакетка роликом, аустеровление, цементование)

$$\beta_{1pr} = \frac{G-1_{1pr}}{G-1} \quad | \quad \begin{array}{l} \text{изделие} \\ \text{изделие} \end{array}$$

- $G-1_{1pr}$  - изогнувший образец
- $G-1$  - изогнувшийся.

Влияние эксплуатационных факторов

### N39. Влияние эксплуатационных факторов

#### • Температура:

При изменении температуры предел выносливости увеличивается, но уменьшается предельное ударное всплеск.

При высоких температурах предел воспламенения сдвигается вправо, при низких — влево. При температуре, соответствующей воспламенению, вспышка продолжается до тех пор пока не исчезнет излучающееся излучение (автоматическое прекращение горения и дегидратации).

## • Business calories

При малых и при новых величинах, не превышающих предела усталости, предел усталости итервале сдвиг

## Körpergewebe

коррозии (стальных, деревянных, каменных строений) может иметь сопротивление устойчивости.

Рассмотренные факторы, влияющие на сортоводческую устойчивость в растениях учитывались в отборе сортов.

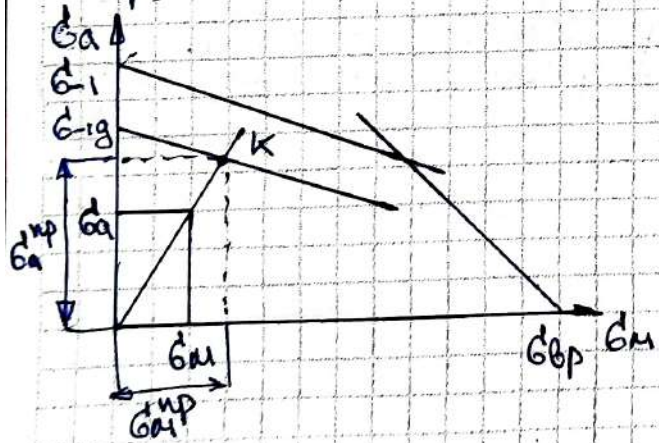
$$K_{G2} = \left[ \frac{K_6}{\epsilon_6} + \frac{1}{\beta} - 1 \right] \frac{1}{\text{Bymp}}$$

$$K_{T\otimes} = \left[ \frac{K_T}{\varepsilon_T} + \frac{1}{\beta} - 1 \right] \frac{1}{\beta \gamma \kappa \rho}$$

Формула для определения коэффициента запаса усталостной прочности при

№40. Формула для определения коэффициента якости установленной прочности при различных видах нагружения

- такое выражение, при которых делается и среднее выражение не выражено



$$G_{-1g} = \frac{1}{Kg} (G_{-1} - \Psi_E G_M)$$

$$G_{\text{окр}} = \frac{1}{Kg} (G_{-1} - \varphi_B G_{\text{мпр}})$$

$$n_G = \frac{G_{\text{mnp}}}{G_m} = \frac{G_{\text{mnp}}}{G_a} \quad | \quad \text{коэффициент гармоники}$$

$$G_{\text{mnp}} = n_B \cdot G_M \quad \text{u} \quad G_{\text{amp}} = n_B \cdot G_A$$

$$n_{G, Ga} = \frac{1}{K_{Ga}} (G_{-1} - \Psi_B \cdot n_G G_m)$$

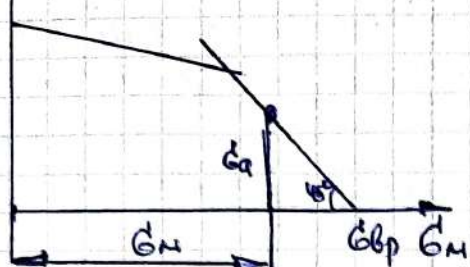
$$n_G = \frac{G_{-1}}{k_{Gg} G_g + \Psi_B \cdot G_N}$$

Среднее напряжение может быть < 0  
 $\Rightarrow n < 4 \Rightarrow$  рекомендуется брать  
 6 транзисторов  $\varphi_B = 0$

$$n_z = \frac{z-1}{k_z g z_a + \varphi_b z_m}$$

тут необходимо, чтобы  $\varphi_b = 0$ , т.к. не вантио направление касательной

Г.а.



если окажется, что среднее изгижение цикла большее и точки окажется (см. рисунок), то

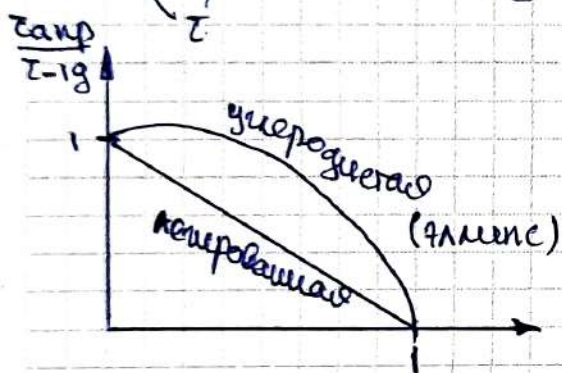
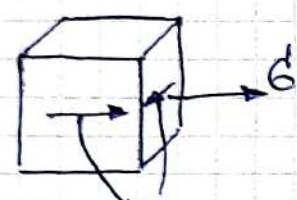
$$G_{max} = G_M + G_a < G_{Bp}$$

### Коэффициент запаса прочности при совместном изгибе и кручении стержня

№41. Коэффициент запаса прочности при совместном изгибе и кручении стержня

Рассмотрим случай, когда изгибающее и кручение действуют одновременно.

Две симметрических циклов нагружаются, когда синфазно изменяются  $\sigma$  и  $\tau$ .



$$\left( \frac{G_{aip}}{G-1g} \right)^2 + \left( \frac{z_{aip}}{z-1g} \right)^2 = 1$$

$$\text{Допущение: } G_{aip} = n G_a$$

$$z_{aip} = n \cdot z_a$$

- одновременно увеличивается  $\sigma$  и  $\tau$

$$\left( \frac{G_a}{G-1g} \right)^2 + \left( \frac{z_a}{z-1g} \right)^2 = \frac{1}{n^2}$$

$$n_G = \frac{G-1}{k_z g z_a + \varphi_b z_m}$$

$$n_z = \frac{z-1}{k_z g z_a + \varphi_b z_m}$$

до (цикла симметрический)

$$\frac{G-1g}{G_a} = n_G ;$$

$$\frac{z-1g}{z_a} = n_z$$

$$\left( \frac{1}{n_G} \right)^2 + \left( \frac{1}{n_z} \right)^2 = \frac{1}{n^2}$$

Ф-ла Гафа и Помарда

общий коэффициент запаса когда перемешано  $\sigma$  и  $\tau$

Величесмое изображение запаса должно оправдываться с нормативами:

$$n_d > [n]$$

$$n_c > [n]$$

$$n > [n]$$

Нормативное изображение запаса может поддаваться в зависимости от:

- качества экспериментальных данных;
- уровня технологий проектирования детали.

1) Достаточно высокий уровень технологий с большим количеством экспериментальных данных:

$$[n] = 1,2 \div 1,5$$

2) Средний уровень технологий и недостаточное количество экспериментальных данных:

$$[n] = 1,5 \div 2,0$$

3) Низкий уровень технологий и мало экспериментальных данных:

$$[n] = 2,0 \div 3,0$$